

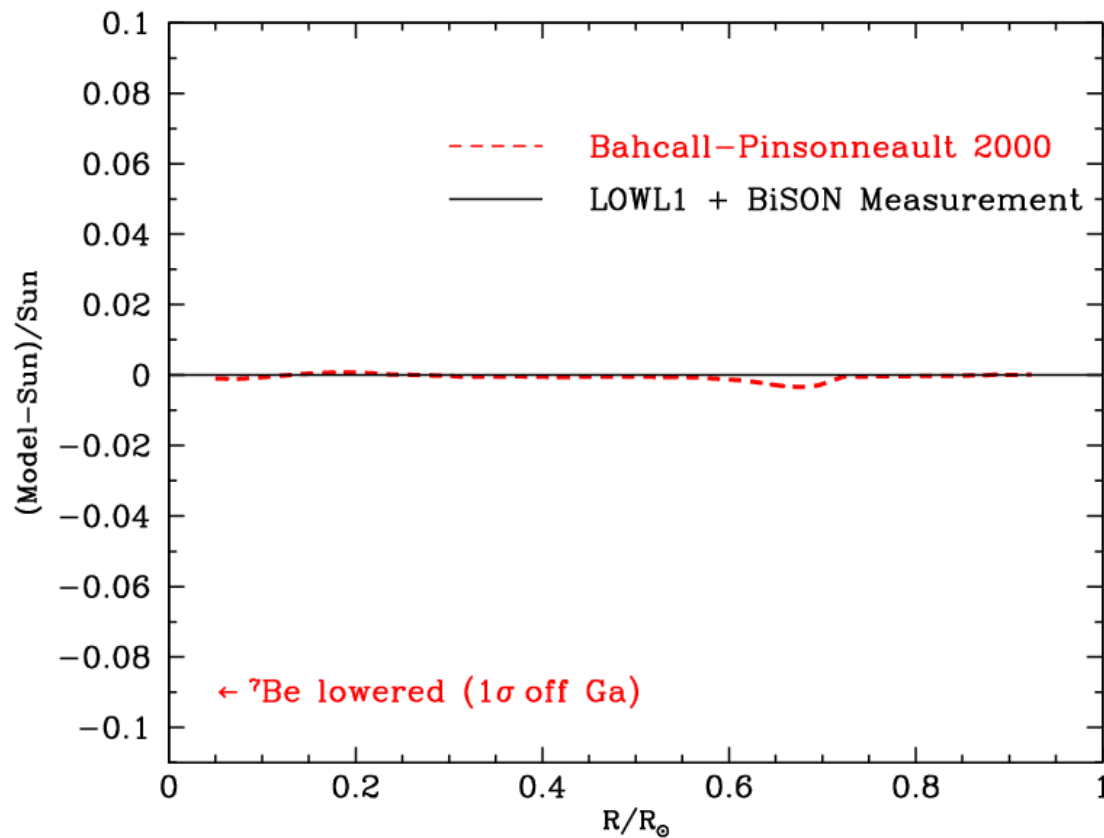
# Problemi correnti nella fisica dei neutrini

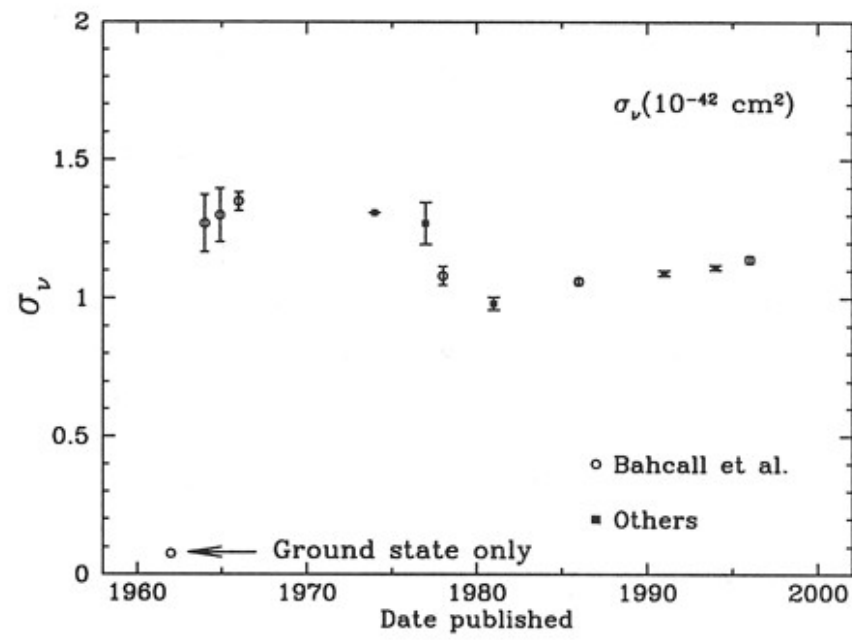
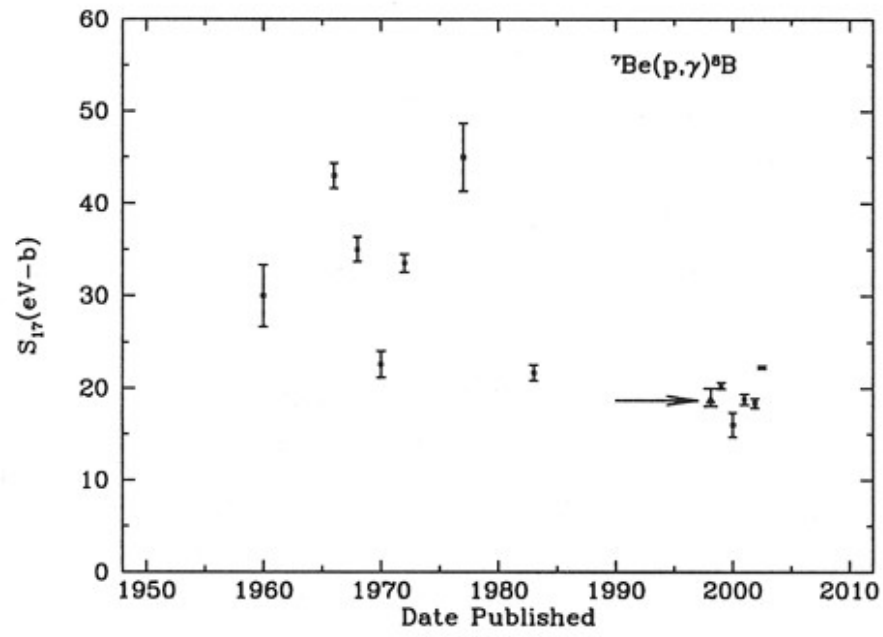
AA2011/12

# Sommario IV

- La conferma dell'ipotesi di oscillazione: SNO
- Oscillazioni si, ma dove?
- Un'altra conferma: KamLAND
- Verso delle misure di precisione: Borexino

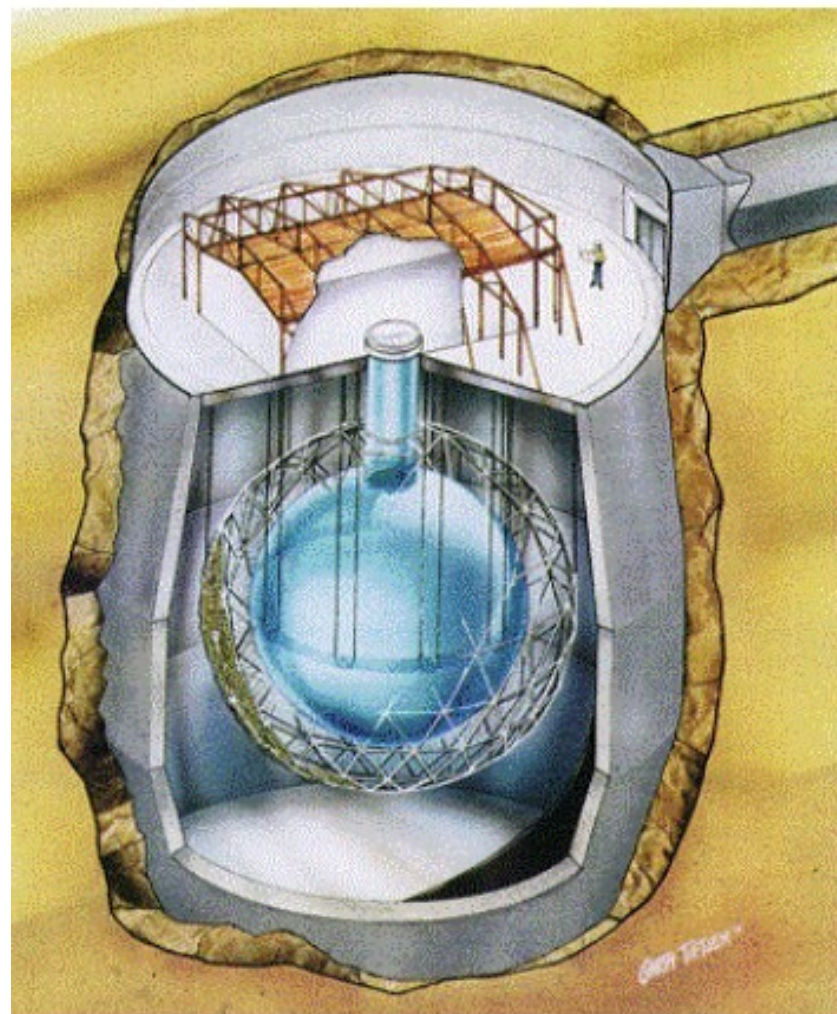
# 1997-2003





# SNO

## Evidenza definitiva di oscillazione dei neutrini solari (Sudbury Neutrino Observatory, Sudbury, Ontario, Canada)



SNO: rivelatore di luce Čerenkov emessa in 1000 tonn. di acqua pesante  $D_2O$  ultra-pura contenuta in una sfera acrilica (diam. 12 m), circondata da 7800 tonn. di acqua  $H_2O$  ultra-pura.

Raccolta di luce: 9456 fotomoltiplicatori, diam. 20 cm, su una superficie sferica di raggio 9.5 m

Profondità: 2070 m (6010 m  $H_2O$  eq.) in una miniera di nikel

Soglia di rivelazione energia elettroni: 5 MeV

Ricostruzione del punto di interazione dalla misura dei tempi relativi dei segnali dei fotomoltiplicatori

## Rivelazione dei neutrini solari nell'esperimento SNO:

(ES) Diffusione elastica neutrino – elettrone :  $\nu + e^- \rightarrow \nu + e^-$

Direzionale,  $\sigma(\nu_e) \approx 6 \sigma(\nu_\mu) \approx 6 \sigma(\nu_\tau)$  (come in Super-K)

(CC)  $\nu_e + d \rightarrow e^- + p + p$

Direzionalità debole: distribuzione angolare elettroni  $\propto 1 - \frac{1}{3} \cos(\theta_{\text{sun}})$

Misura dell'energia del  $\nu_e$  (perchè la maggior parte dell'energia del  $\nu_e$  è trasferita all'elettrone)

(NC)  $\nu + d \rightarrow \nu + p + n$

Sezione d'urto identica per i tre tipi di neutrino

Misura del flusso solare totale da  $B^8 \rightarrow Be^8 + e^+ + \nu$  in presenza di oscillazioni

## RIVELAZIONE DI $\nu + d \rightarrow \nu + p + n$

Rivelazione di fotoni ( $\rightarrow e^+e^-$ ) da cattura del neutrone  
dopo rallentamento

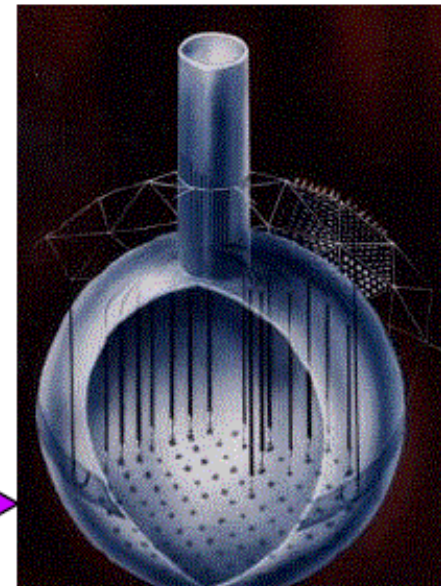
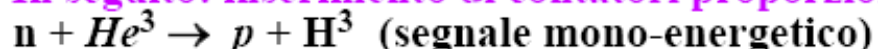
■ Prima fase (Novembre 1999 – Maggio 2001):

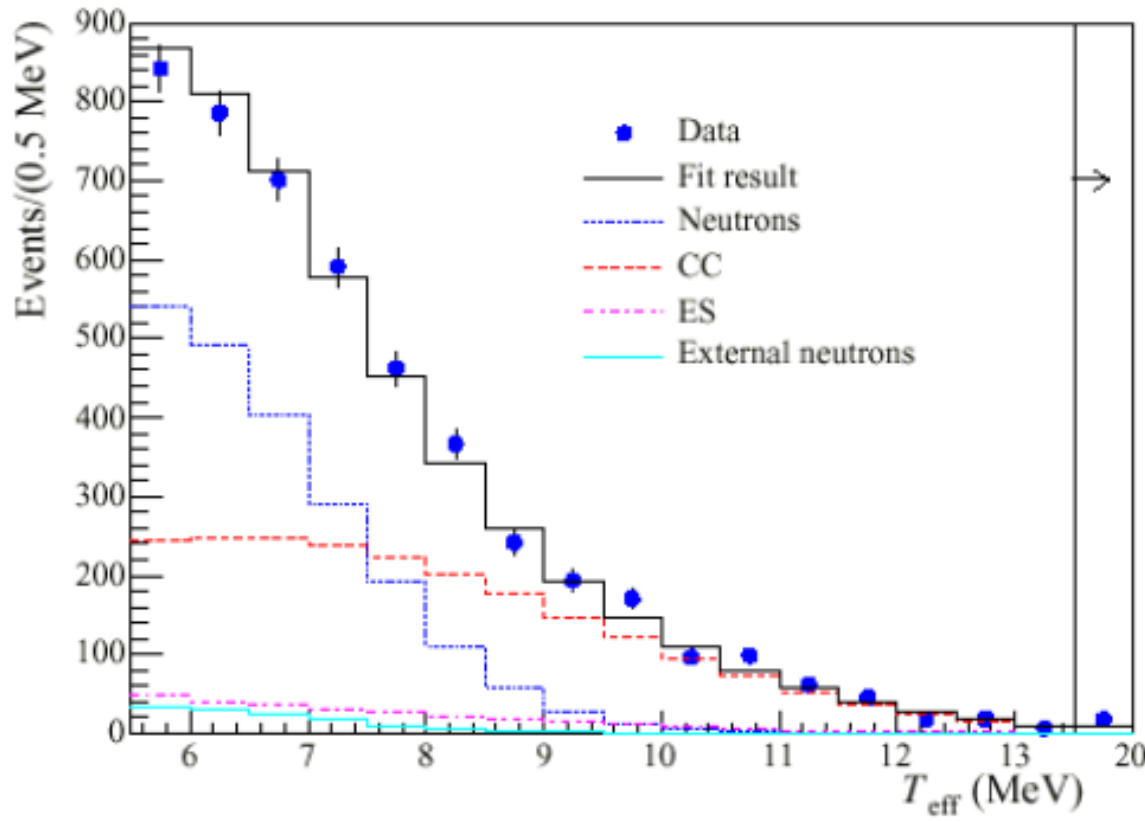


■ Seconda fase : aggiunta di  $NaCl$  ultra-puro (2 tonn.)



■ In seguito: inserimento di contatori proporzionali a  $He^3$





**Distribuzione  
energia depositata  
(ampiezza segnale)**

**Estrazione delle tre componenti mediante metodo di  
massima verosimiglianza**

**Numero di eventi:**

CC:  $2176 \pm 78$

ES:  $279 \pm 26$

NC:  $2010 \pm 85$

Fondo (neutroni esterni):  $128 \pm 42$

## Flussi di neutrini solari, misurati separatamente dai tre segnali:

$$\Phi_{CC} = (1.72 \pm 0.05 \pm 0.11) \times 10^6 \text{ cm}^{-2} \text{ s}^{-1}$$

Nota:  $\Phi_{CC} \equiv \Phi(\nu_e)$

$$\Phi_{ES} = (2.34 \pm 0.23^{+0.15}_{-0.14}) \times 10^6 \text{ cm}^{-2} \text{ s}^{-1}$$

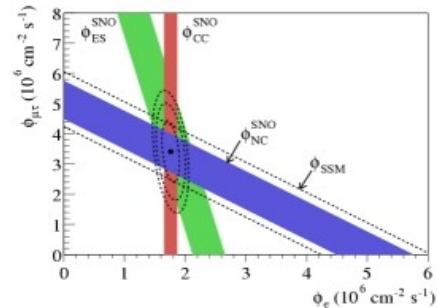
← Calcolato nell'ipotesi che tutti i neutrini incidenti sono  $\nu_e$

$$\Phi_{NC} = (4.81 \pm 0.19^{+0.28}_{-0.27}) \times 10^6 \text{ cm}^{-2} \text{ s}^{-1}$$

↔  $\Phi_{SSM}(v) = 5.05^{+1.01}_{-0.81} \times 10^6 \text{ cm}^{-2} \text{ s}^{-1}$

(stat) (sist)

→  $\frac{\Phi_{CC}}{\Phi_{NC}} = 0.358 \pm 0.021^{+0.028}_{-0.029}$



- Flusso totale di neutrini solari in accordo con predizioni SSM  
(misura della temperatura del nucleo solare con precisione  $\sim 0.5\%$ )

- Composizione neutrini solari all'arrivo sulla Terra:  
 $\sim 36\% \nu_e$ ;  $\sim 64\% \nu_\mu + \nu_\tau$  (rapporto  $\nu_\mu / \nu_\tau$  ignoto)

→ EVIDENZA DEFINITIVA DI OSCILLAZIONE  
DEI NEUTRINI SOLARI

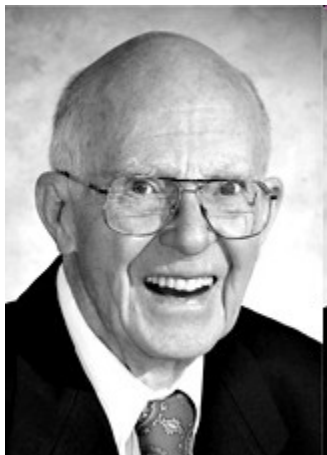
# "The Nobel Prize in Physics 2002"

[http://nobelprize.org/nobel\\_prizes/physics/laureates/2002/](http://nobelprize.org/nobel_prizes/physics/laureates/2002/)

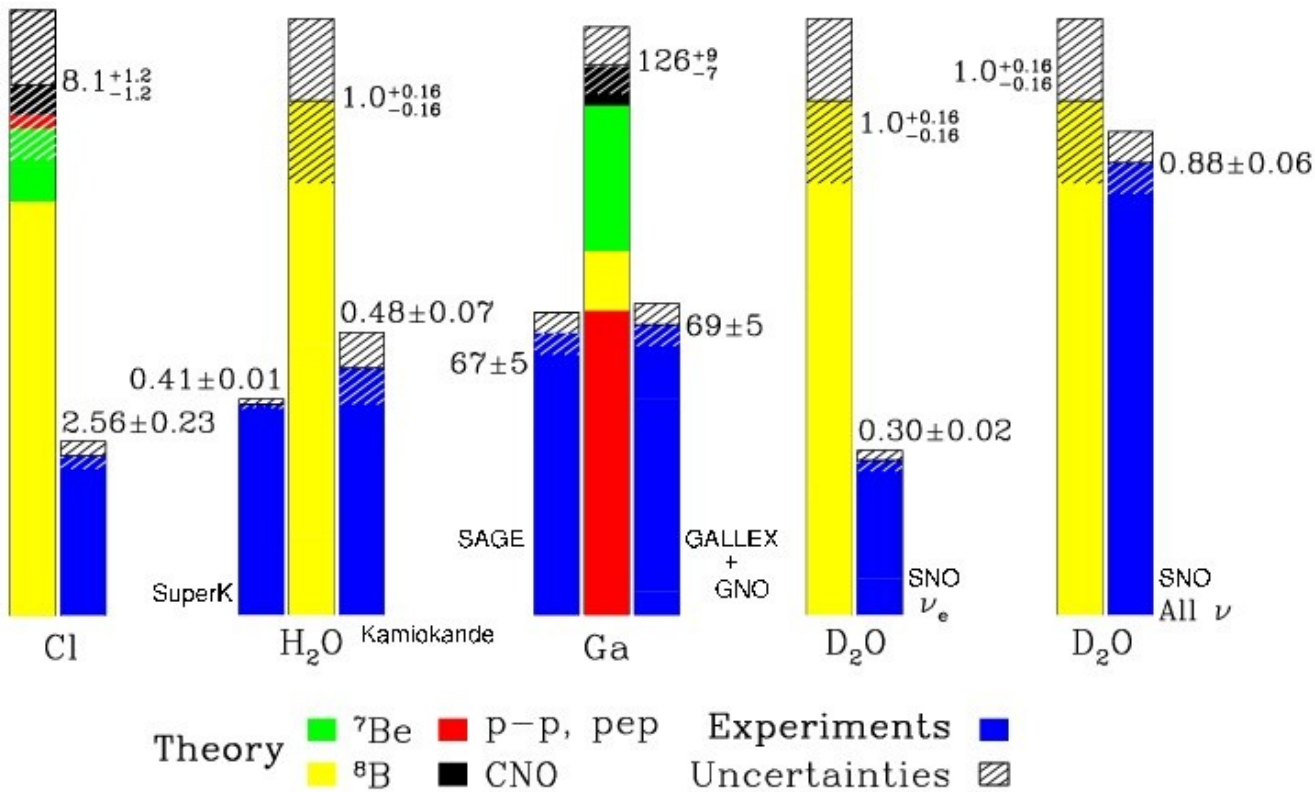
Davis (Homestake)

Koshiba (Kamiokande)

Giacconi (astronomia X)



## Total Rates: Standard Model vs. Experiment Bahcall–Serenelli 2005 [BS05(OP)]



# Scomparsa di $\nu_e$ solari: interpretazione

Ipotesi: mixing di due neutrini

Oscillazioni nel vuoto

Spettro  $\nu_e$  rivelato sulla Terra  $\Phi(\nu_e) = \mathcal{P}_{ee} \Phi_0(\nu_e)$

( $\Phi_0(\nu_e)$   $\equiv$  spettro  $\nu_e$  alla produzione)

Probabilità di rivelare  $\nu_e$ :

$$\mathcal{P}_{ee} = 1 - \sin^2(2\theta) \sin^2(1.267 \Delta m^2 \frac{L}{E}) \quad \left( \begin{array}{l} L \text{ [m]} \\ E \text{ [MeV]} \\ \Delta m^2 \text{ [eV}^2] \end{array} \right)$$

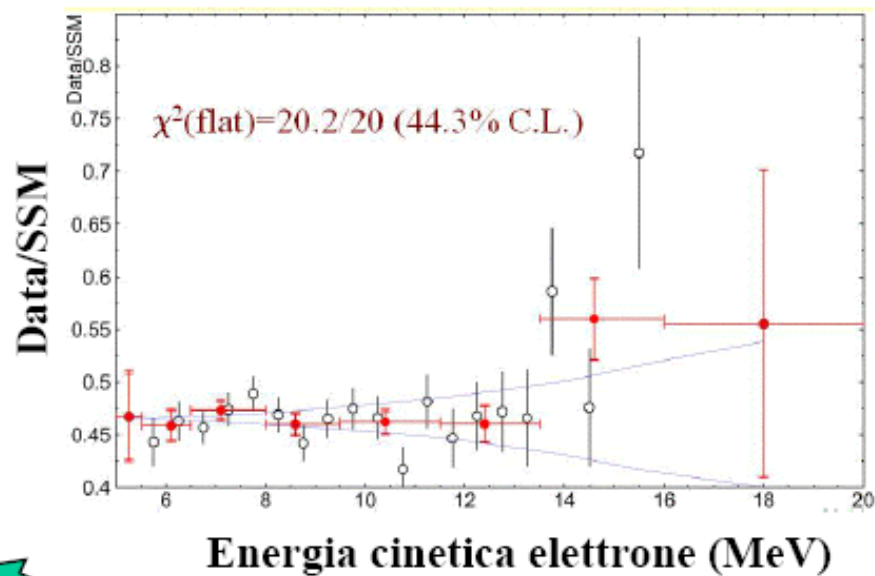
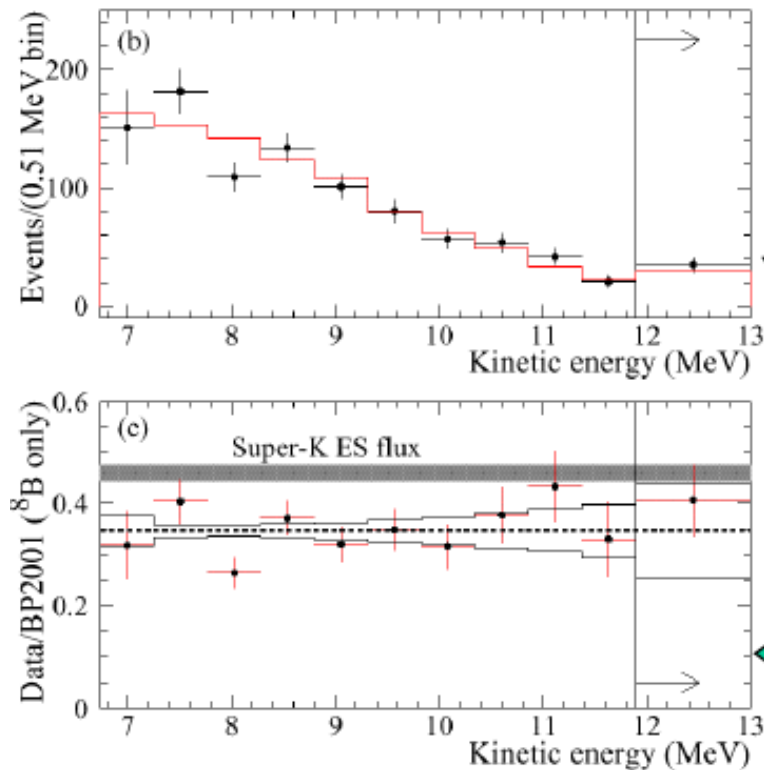
$L = 1.496 \times 10^{11}$  m (distanza media Sole – Terra con 3.3% di variazione annuale dovuta all'eccentricità dell'orbita terrestre)

Effetti previsti per Super-K, SNO:

- Distorsioni dello spettro  $\geq 20\%$  (dipendenza di  $\mathcal{P}_{ee}$  da  $E$ )
- Modulazione stagionale  $\geq 10\%$  (dipendenza di  $\mathcal{P}_{ee}$  da  $L$ )

## Distorsioni dello spettro

**Super-K 2002**

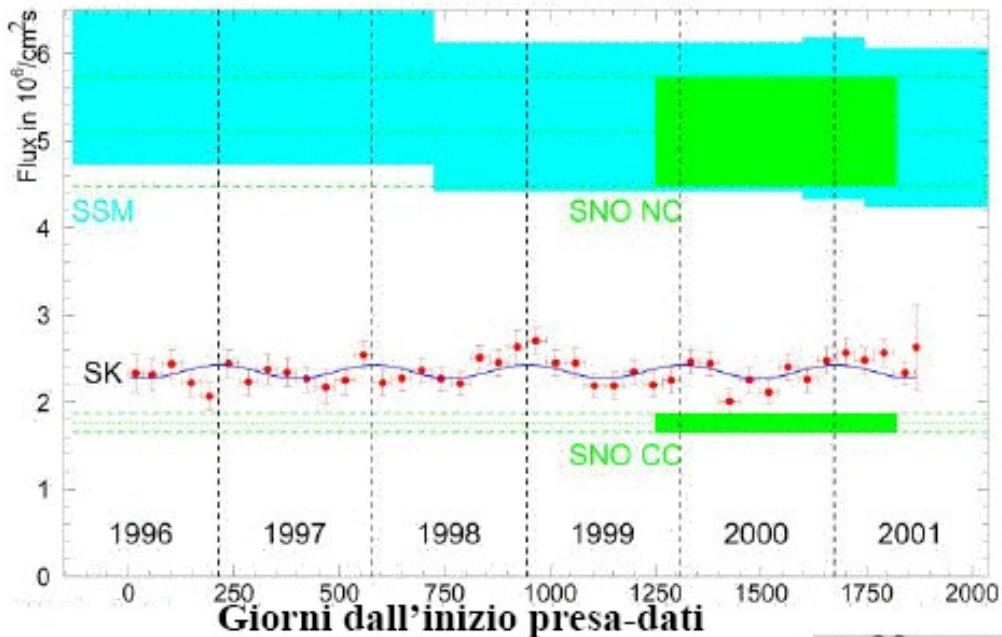


**SNO:  $\nu_e + d \rightarrow e^- + p + p$   
distribuzione energia  
elettrone**

**SNO: dati / predizione SSM**

**deficit  $\nu_e$  indipendente dall'energia entro gli errori di misura  
(assenza di distorsioni dello spettro)**

## Modulazione stagionale



Variazione annuale della distanza  
Sole - Terra: 3.3%  $\Rightarrow$  modulazione  
stagionale del flusso di neutrini solari

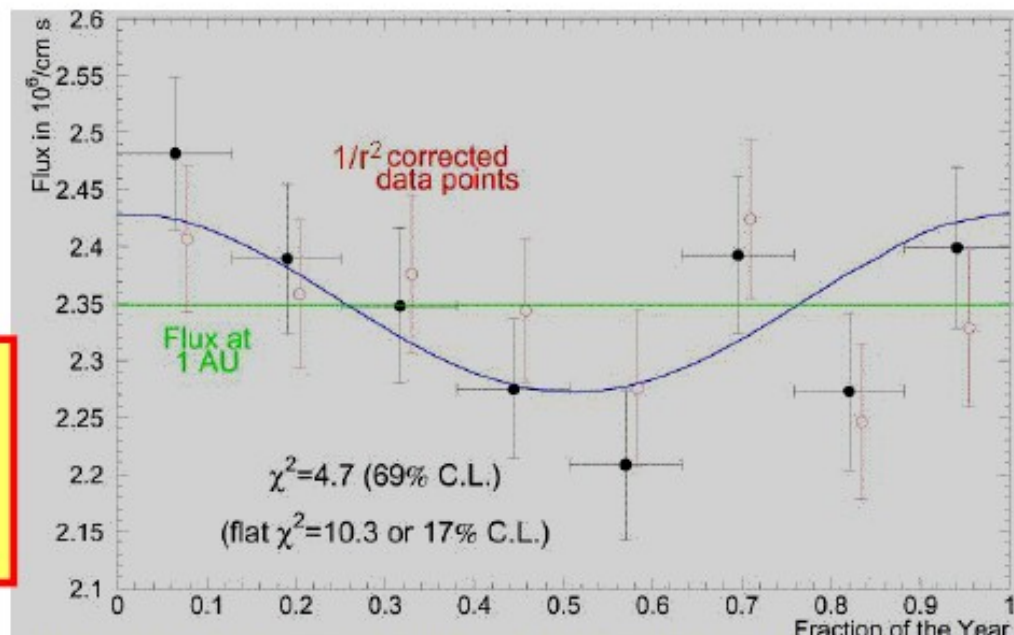


Modulazione stagionale in assenza di  
oscillazioni dovuta alla variazione  
dell'angolo solido:  $\sim 6.6\%$

Effetto osservato compatibile con la  
sola variazione di angolo solido



Le oscillazioni di neutrini  
nel vuoto non descrivono  
il deficit di  $\nu_e$  solari osservato



# OSCILLAZIONI DI NEUTRINI NELLA MATERIA

Rifrazione dei neutrini nella materia (L. Wolfenstein, 1978)

**Indice di rifrazione :**

$$n = 1 + \varepsilon = 1 + \frac{2\pi}{p^2} N f(0)$$

$p$ : impulso del neutrino

$N$ : densità dei centri di diffusione

$f(0)$ : ampiezza di diffusione a  $\theta = 0^\circ$

**Nel vuoto:**  $E = \sqrt{p^2 + m^2}$

**Onda piana nella materia:**  $\Psi = e^{i(np \cdot r - Et)}$

→  $E' = \sqrt{(np)^2 + m^2} \approx E + \frac{p^2}{E} \varepsilon \quad (|\varepsilon| \ll 1)$

**Conservazione dell'energia:**

$$E = E' + V$$

**V ≡ energia potenziale del neutrino nella materia**

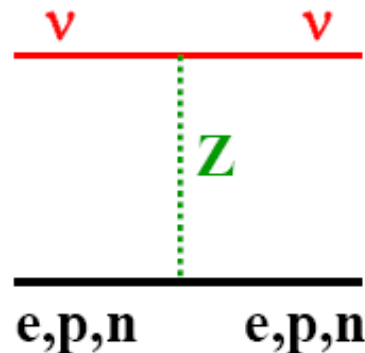
→ 
$$V = -\frac{p^2}{E} \varepsilon = -\frac{2\pi}{E} N f(0)$$

$V < 0$ : potenziale attrattivo ( $n > 1$ )

$V > 0$ : potenziale repulsivo ( $n < 1$ )

## Energia potenziale del neutrino nella materia

### 1. Contributo da scambio Z (identico per i tre tipi di neutrino)



$$V_Z(p) = -V_Z(e) = \frac{\sqrt{2}}{2} G_F N_p (1 - 4 \sin^2 \theta_w)$$

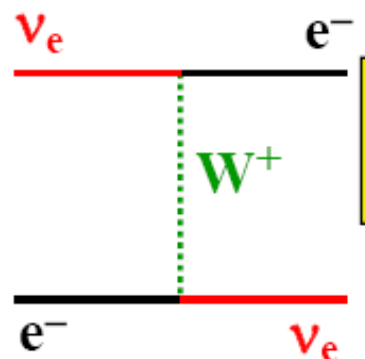
$G_F$ : costante di Fermi

$$V_Z(n) = -\frac{\sqrt{2}}{2} G_F N_n$$

$N_p$  ( $N_n$ ): densità protoni (neutroni)

$\theta_w$ : angolo di mixing debole

### 2. Contributo da scambio W (soltanto per $\nu_e$ !)



$$V_W[eV] = \sqrt{2} G_F N_e \approx 7.63 \times 10^{-14} \frac{Z}{A} \rho$$

densità elettroni

densità di materia [g/cm<sup>3</sup>]

NOTA:  $V(\nu) = -V(\bar{\nu})$

## Esempio: mixing $\nu_e - \nu_\mu$ in un mezzo di densità costante (risultati identici per mixing $\nu_e - \nu_\tau$ )

Nella base del “flavour”:  $\nu = \begin{pmatrix} \nu_e \\ \nu_\mu \end{pmatrix}$

**Equazione che descrive  
l’evoluzione dello stato:**  $H\nu = i \frac{\partial \nu}{\partial t}$

matrice 2x2

$$H = (E + V_Z) \begin{vmatrix} 1 & 0 \\ 0 & 1 \end{vmatrix} + \frac{1}{2E} \begin{vmatrix} M_{ee}^2 & M_{e\mu}^2 \\ M_{\mu e}^2 & M_{\mu\mu}^2 \end{vmatrix} + V_W \begin{vmatrix} 1 & 0 \\ 0 & 0 \end{vmatrix}$$

(Ricordare:  $\sqrt{p^2 + M^2} \approx p + \frac{M^2}{2p} \approx E + \frac{M^2}{2E}$  per  $M \ll p$ )

$$M_{ee}^2 = \frac{1}{2}(\mu^2 - \Delta m^2 \cos 2\theta) \quad \mu^2 = m_1^2 + m_2^2$$

$$M_{e\mu}^2 = M_{\mu e}^2 = \frac{1}{2}\Delta m^2 \sin 2\theta \quad \Delta m^2 = m_2^2 - m_1^2$$

$$M_{\mu\mu}^2 = \frac{1}{2}(\mu^2 + \Delta m^2 \cos 2\theta)$$

**NOTA:**  $m_1, m_2, \theta$  definiti nel vuoto

$$H = (E + V_Z) \begin{pmatrix} 1 & 0 \\ 0 & 1 \end{pmatrix} + \frac{1}{2E} \begin{pmatrix} M_{ee}^2 + 2EV_W & M_{e\mu}^2 \\ M_{\mu e}^2 & M_{\mu\mu}^2 \end{pmatrix}$$

termine diagonale:  
nessun mixing

termine responsabile del mixing  $\nu_e - \nu_\mu$

$\rho = \text{costante} \longrightarrow H \text{ indipendente dal tempo}$

Diagonalizzazione di  $H \Rightarrow$  autovalori e autostati

Autovalori  
nella materia

$$M^2 = \frac{1}{2}(\mu^2 + \xi) \pm \frac{1}{2}\sqrt{(\Delta m^2 \cos 2\theta - \xi)^2 + (\Delta m^2)^2 \sin^2 2\theta}$$

$$\xi \equiv 2EV_W \approx 1.526 \times 10^{-7} \frac{Z}{A} \rho E \quad [\text{eV}^2] \quad (\rho \text{ in g/cm}^3, E \text{ in MeV})$$

Angolo di mixing nella materia

$$\tan 2\theta_m = \frac{\Delta m^2 \sin 2\theta}{\Delta m^2 \cos 2\theta - \xi}$$

$\xi = \Delta m^2 \cos 2\theta \equiv \xi_{\text{res}} \Rightarrow$  mixing massimo  
 $(\theta_m = 45^\circ)$  anche nel caso di angolo di mixing  
 nel vuoto molto piccolo: “risonanza MSW”  
 (scoperta da Mikheyev e Smirnov nel 1985)

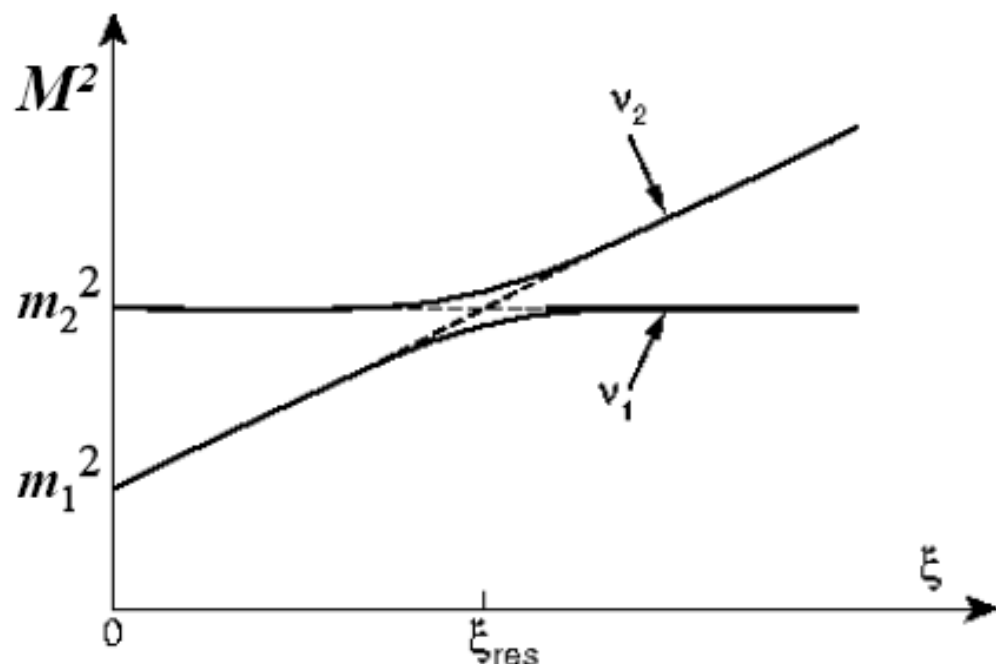
Nota 1: la risonanza MSW può esistere solo se  $\theta < 45^\circ$  (altrimenti  $\cos 2\theta < 0$ )

Nota 2: Per  $\bar{\nu}_e \xi < 0 \Rightarrow$  assenza di risonanza MSW se  $\theta < 45^\circ$

## Autovalori della massa in funzione di $\xi$

$$\xi \equiv 2EV_W \approx 1.526 \times 10^{-7} \frac{Z}{A} \rho E$$

$$\xi_{res} = \Delta m^2 \cos 2\theta$$



## Lunghezza di oscillazione nella materia:

$$\lambda_m = \lambda \frac{\Delta m^2}{\sqrt{(\Delta m^2 \cos 2\theta - \xi)^2 + (\Delta m^2)^2 \sin^2 2\theta}}$$

( $\lambda$  ≡ lunghezza di oscillazione nel vuoto)

Per  $\xi = \xi_{res}$ :  $\lambda_m = \frac{\lambda}{\sin 2\theta}$

## Effetto di materia sulle oscillazioni dei neutrini solari

Neutrini solari: prodotti in un mezzo di alta densità  
(il nucleo del Sole).

Densità variabile lungo il percorso nel Sole:  $\rho = \rho(t)$

### Formalismo delle oscillazioni nella materia

Evoluzione temporale:  $Hv = i \partial v / \partial t$

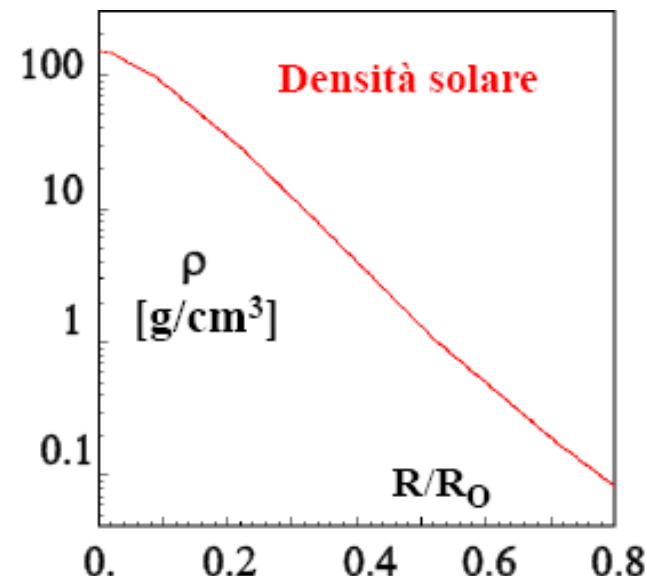
$H$  (matrice 2 x 2) dipende dal tempo attraverso  $\rho(t)$

→ non esistono autostati di  $H$

Risoluzione numerica dell'equazione di evoluzione:

$$v(0) = \begin{pmatrix} 1 \\ 0 \end{pmatrix} \quad (\text{puro } v_e \text{ alla produzione})$$

$$v(\delta) = v(0) + \left( \frac{\partial v}{\partial t} \right)_{t=0} \delta = v(0) - iH(0)v(0)\delta$$



( $\delta$  = intervallo temporale molto piccolo)

$$v(t + \delta) = v(t) + \left( \frac{\partial v}{\partial t} \right)_t \delta = v(t) - iH(t)v(t)\delta$$

(fino all'uscita del neutrino dal Sole)

**Soluzione generica:**

$$v(t) = a_1(t)v_1 + a_2(t)v_2 \quad (|a_1|^2 + |a_2|^2 = 1)$$

$v_1, v_2$  : autostati “locali” dell’Hamiltoniana indipendente dal tempo ( $\rho$  fissato)

Alla produzione ( $t = 0$ , nel nucleo del Sole):

$$v_e = \cos \theta_m^0 v_1(0) + \sin \theta_m^0 v_2(0)$$

dove:  $\theta_m^0 = \theta_m(0)$  ;  $v_1(0), v_2(0)$  autostati di  $H$  per  $\rho = \rho(0)$

Ipotesi:  $\theta$  (angolo di mixing nel vuoto)  $< 45^\circ$ :  $\cos \theta > \sin \theta$  nel vuoto

Se  $\xi > \xi_{\text{res}}$  alla produzione,  $\theta_m(0) > 45^\circ$



$$a_1(0) = \cos \theta_m^0 < a_2(0) = \sin \theta_m^0$$

(componente  $v_2$  del  $v_e$  > componente  $v_1$ )

$\xi > \xi_{\text{res}}$



$$E[\text{MeV}] > \frac{\xi_{\text{res}}}{2V_W} \approx \frac{6.6 \times 10^6 \Delta m^2 \cos 2\theta}{(Z/A)\rho}$$

$\begin{cases} \Delta m^2 [\text{eV}^2] \\ \rho [\text{g/cm}^3] \end{cases}$

## Soluzioni "adiabatiche"

(variazione di  $\rho$  trascurabile su una lunghezza di oscillazione)

$$a_1(t) \approx a_1(0) ; a_2(t) \approx a_2(0)$$

a ogni istante  $t$

All'uscita dal Sole ( $t = t_E$ ):

$$\mathbf{v}(t_E) = a_1(0)\mathbf{v}_1(t_E) + a_2(0)\mathbf{v}_2(t_E)$$

$\mathbf{v}_1(t_E), \mathbf{v}_2(t_E)$  : autostati di massa nel vuoto

Se  $a_1(0) < a_2(0)$ :  $|\langle \mathbf{v}_\mu | \mathbf{v}(t_E) \rangle| > |\langle \mathbf{v}_e | \mathbf{v}(t_E) \rangle|$

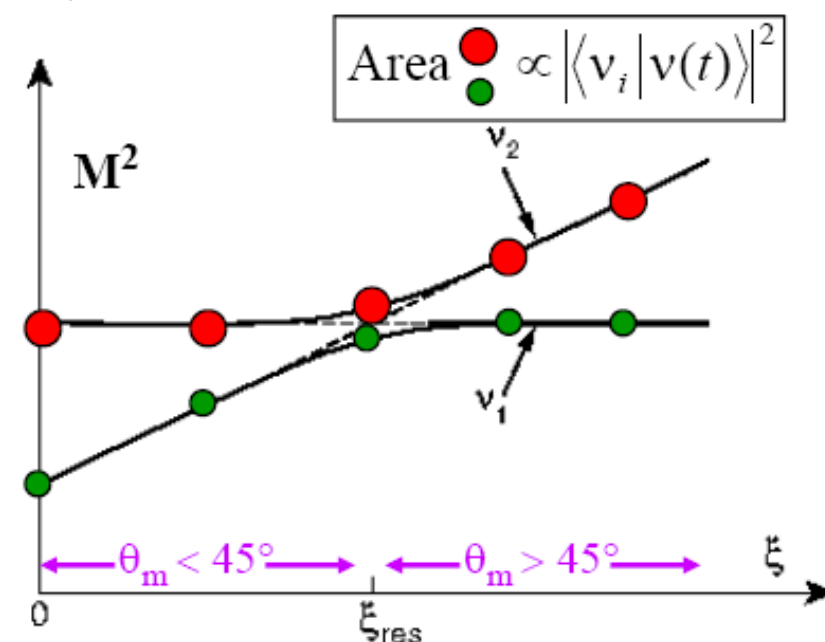
perchè nel vuoto ( $\theta < 45^\circ$ )

$$|\langle \mathbf{v}_\mu | \mathbf{v}_2 \rangle| > |\langle \mathbf{v}_e | \mathbf{v}_2 \rangle|$$

→ **DEFICIT DI  $\mathbf{v}_e$   
ALL'USCITA  
DAL SOLE**

$$\xi \equiv 2EV_{\pi} \approx 1.526 \times 10^{-7} \frac{Z}{A} \rho E$$

$$\xi_{res} \equiv \Delta m^2 \cos(2\theta)$$



For simplicity, we shall consider only oscillations between electron and muon neutrinos. The neutrino mass states  $|\nu_1\rangle$  and  $|\nu_2\rangle$  are assumed to have distinct masses  $m_1$  and  $m_2$ , respectively. We define the neutrino flavor states  $|\nu_e\rangle$  and  $|\nu_\mu\rangle$  in terms of two mass states:

$$|\nu_e\rangle = \cos \theta |\nu_1\rangle + \sin \theta |\nu_2\rangle , \text{ and} \quad (1a)$$

$$|\nu_\mu\rangle = -\sin \theta |\nu_1\rangle + \cos \theta |\nu_2\rangle . \quad (1b)$$

We further assume that an electron neutrino is born at time  $t = 0$ . That neutrino will evolve in time as a superposition of states with time-dependent coefficients. The neutrino can be described by either mass states or flavor states:

$$|\nu(t)\rangle = a_1(t) |\nu_1\rangle + a_2(t) |\nu_2\rangle = a_e(t) |\nu_e\rangle + a_\mu(t) |\nu_\mu\rangle , \quad (2)$$

where

$$a_e(t) = a_1(t) \cos \theta + a_2(t) \sin \theta , \text{ and} \quad (3a)$$

$$a_\mu(t) = -a_1(t) \sin \theta + a_2(t) \cos \theta . \quad (3b)$$

In general, the time development of the neutrino states described in Equation (2) has a phase that depends on both the momentum and the energy of the neutrino. For example, an electron neutrino evolves as

$$|\nu_e(t)\rangle = \cos \theta e^{ip \cdot x - iE_1 t} |\nu_1\rangle + \sin \theta e^{ip \cdot x - iE_2 t} |\nu_2\rangle . \quad (5)$$

We work in units in which  $\hbar = c = 1$ . Let us first consider the evolution of  $|\nu(t)\rangle$  as a superposition of mass eigenstates during an infinitesimal time  $\Delta t$ . We assume a common momentum for each mass state, so that only the difference between the energies of the mass states (due to the difference in the neutrino masses) governs the time development of the state. With  $p \gg m_k$ , we can approximate the energy as

$$E_k = \sqrt{p^2 + m_k^2} \approx p + m_k^2 / 2p = p + M_k , \quad (6)$$

where  $M_k = m_k^2 / 2p$  ( $k = 1, 2$ ). The neutrino evolves in time  $\Delta t$  as

$$\begin{aligned} |\nu(t+\Delta t)\rangle &= a_1(t+\Delta t) e^{-iE_1 \Delta t} |\nu_1\rangle + a_2(t+\Delta t) e^{-iE_2 \Delta t} |\nu_2\rangle \\ &\approx a_1(t+\Delta t) e^{-iM_1 \Delta t} |\nu_1\rangle + a_2(t+\Delta t) e^{-iM_2 \Delta t} |\nu_2\rangle . \end{aligned} \quad (7)$$

We have dropped the overall phase factor of  $\exp(-ip\Delta t)$  in Equation (7) because it has no bearing on the final result. With the help of Equations (4a) and (4b), we can write Equation (7) in the flavor basis:

$$|\nu(t+\Delta t)\rangle = [a_1(t+\Delta t)e^{-iM_1 \Delta t} \cos \theta + a_2(t+\Delta t)e^{-iM_2 \Delta t} \sin \theta] |\nu_e\rangle + [-a_1(t+\Delta t)e^{-iM_1 \Delta t} \sin \theta + a_2(t+\Delta t)e^{-iM_2 \Delta t} \cos \theta] |\nu_\mu\rangle . \quad (8)$$

We next consider the neutrino as a superposition of flavor states:

$$|\nu(t)\rangle = a_e(t) |\nu_e\rangle + a_\mu(t) |\nu_\mu\rangle . \quad (9)$$

Because only electron neutrinos interact via charged currents, the two flavor states have different forward-scattering amplitudes, and each sees a different effective refractive index in matter. We assume that the change in the probability amplitudes  $a_e(t)$  and  $a_\mu(t)$  during an infinitesimal time  $\Delta t$  can be expressed as a simple phase shift that is proportional to the refractive index:

$$a_e(t+\Delta t) \approx a_e(t) \exp [ip(n_{nc} + n_{cc} - 1)\Delta t] = a_e(t) \exp [i(\xi + \eta)\Delta t] , \text{ and} \quad (10a)$$

$$a_\mu(t+\Delta t) \approx a_\mu(t) \exp [ip(n_{nc} - 1)\Delta t] = a_\mu(t) \exp [i\xi\Delta t] , \quad (10b)$$

where  $\xi = (2\pi N_e/p)f_{nc}$  and  $\eta = \sqrt{2}G_F N_e$ . The latter relation is the matter oscillation term. We have also used  $\Delta x \approx \Delta t$ . The neutrino state, therefore, evolves as

$$\begin{aligned} |\nu(t+\Delta t)\rangle &= a_e(t) e^{i(\xi + \eta)\Delta t} |\nu_e\rangle + a_\mu(t) e^{i\xi\Delta t} |\nu_\mu\rangle \\ &= a_e(t) e^{i\eta\Delta t} |\nu_e\rangle + a_\mu(t) |\nu_\mu\rangle , \end{aligned} \quad (11)$$

where again we have dropped the overall phase factor of  $\exp(i\xi\Delta t)$  because it does not affect the final result. Equations (8) and (11) are expressions for  $|\nu(t + \Delta t)\rangle$ . Equating the coefficients of  $|\nu_e\rangle$  and  $|\nu_\mu\rangle$  results in a set of coupled equations:

$$a_1(t + \Delta t)e^{-iM_1 \Delta t} \cos \theta + a_2(t + \Delta t)e^{-iM_2 \Delta t} \sin \theta = a_e(t)e^{i(\xi + \eta)\Delta t}, \quad (12a)$$

$$-a_1(t + \Delta t)e^{-iM_1 \Delta t} \sin \theta + a_2(t + \Delta t)e^{-iM_2 \Delta t} \cos \theta = a_\mu(t)e^{i\xi \Delta t}. \quad (12b)$$

Both sides of Equations (12a) and (12b) are expanded to first order in  $\Delta t$ ,

$$[a_1(t) + \dot{a}_1(t)\Delta t - ia_1(t)M_1\Delta t]\cos \theta + [a_2(t) + \dot{a}_2(t)\Delta t - ia_2(t)M_2\Delta t]\sin \theta = a_e(t)(1 + i\eta\Delta t) \quad (13a)$$

$$-[a_1(t) + \dot{a}_1(t)\Delta t - ia_1(t)M_1\Delta t]\sin \theta + [a_2(t) + \dot{a}_2(t)\Delta t - ia_2(t)M_2\Delta t]\cos \theta = a_\mu(t), \quad (13b)$$

where a dot indicates the time derivative. Equations (4c) and (4d) are used to express  $a_1(t)$ ,  $\dot{a}_1(t)$ ,  $a_2(t)$ , and  $\dot{a}_2(t)$  in terms of  $a_e(t)$ ,  $\dot{a}_e(t)$ ,  $a_\mu(t)$ , and  $\dot{a}_\mu(t)$ . Following more algebraic operations,

$$-i\dot{a}_e(t) = [M_1\cos^2\theta + M_2\sin^2\theta + \eta]a_e(t) + (M_2 - M_1)\cos \theta \sin \theta a_\mu(t), \quad (14a)$$

$$-\dot{a}_\mu(t) = (M_2 - M_1)\cos \theta \sin \theta a_e(t) + [M_1\sin^2\theta + M_2\cos^2\theta]a_\mu(t). \quad (14b)$$

These expressions can be cast in a Schrödinger-like equation for a column matrix  $A$  consisting of the probability amplitudes  $a_e(t)$  and  $a_\mu(t)$ :

$$-i \frac{dA}{dt} = HA , \quad (15)$$

where  $H = \begin{pmatrix} M_1 \cos^2 \theta + M_2 \sin^2 \theta + \eta & (M_2 - M_1) \cos \theta \sin \theta \\ (M_2 - M_1) \cos \theta \sin \theta & M_1 \sin^2 \theta + M_2 \cos^2 \theta \end{pmatrix}$  and  $A = \begin{pmatrix} a_e(t) \\ a_\mu(t) \end{pmatrix}$

The eigenvalues of the matrix  $H$  are given by

$$\chi_{1,2} = \frac{\eta + M_1 + M_2}{2} \mp \frac{\sqrt{\eta^2 + (M_2 - M_1)^2 - 2\eta(M_2 - M_1)\cos 2\theta}}{2} . \quad (16)$$

Equation (15) can then be solved:

$$A(t) = \left[ \frac{\chi_2 e^{i\chi_1 t} - \chi_1 e^{i\chi_2 t}}{\chi_2 - \chi_1} I + \frac{e^{i\chi_2 t} - e^{i\chi_1 t}}{\chi_2 - \chi_1} H \right] A(0) , \quad (17)$$

where  $I$  is the identity matrix. At time  $t = 0$ , the beam consists only of electron neutrinos. Thus,  $a_e(0) = 1$ , and  $a_\mu(0) = 0$  so that

$$a_e(t) = \frac{\chi_2 e^{i\chi_1 t} - \chi_1 e^{i\chi_2 t}}{\chi_2 - \chi_1} + \frac{e^{i\chi_2 t} - e^{i\chi_1 t}}{\chi_2 - \chi_1} (M_1 \cos^2 \theta + M_2 \sin^2 \theta + \eta) , \quad (18a)$$

$$a_\mu(t) = \frac{e^{i\chi_2 t} - e^{i\chi_1 t}}{\chi_2 - \chi_1} (M_2 - M_1) \cos \theta \sin \theta . \quad (18b)$$

The probability of detecting a muon neutrino after a time  $t$  is given by

$$P_{\text{MSW}}(\nu_e \rightarrow \nu_\mu) = |\langle \nu_\mu | \nu(t) \rangle|^2 = |a_e(t)\langle \nu_\mu | \nu_e \rangle + a_\mu(t)\langle \nu_\mu | \nu_\mu \rangle|^2 = |a_\mu(t)|^2 \quad (19)$$

so that

$$\begin{aligned} P_{\text{MSW}}(\nu_e \rightarrow \nu_\mu) &= \frac{(M_2 - M_1)^2 \cos^2 \theta \sin^2 \theta}{(\chi_2 - \chi_1)^2} 2(1 - \cos(\chi_2 - \chi_1)t) \\ &= \frac{(M_2 - M_1)^2 \sin^2 2\theta}{(\chi_2 - \chi_1)^2} \sin^2 \frac{\chi_2 - \chi_1}{2} t \end{aligned} \quad (20)$$

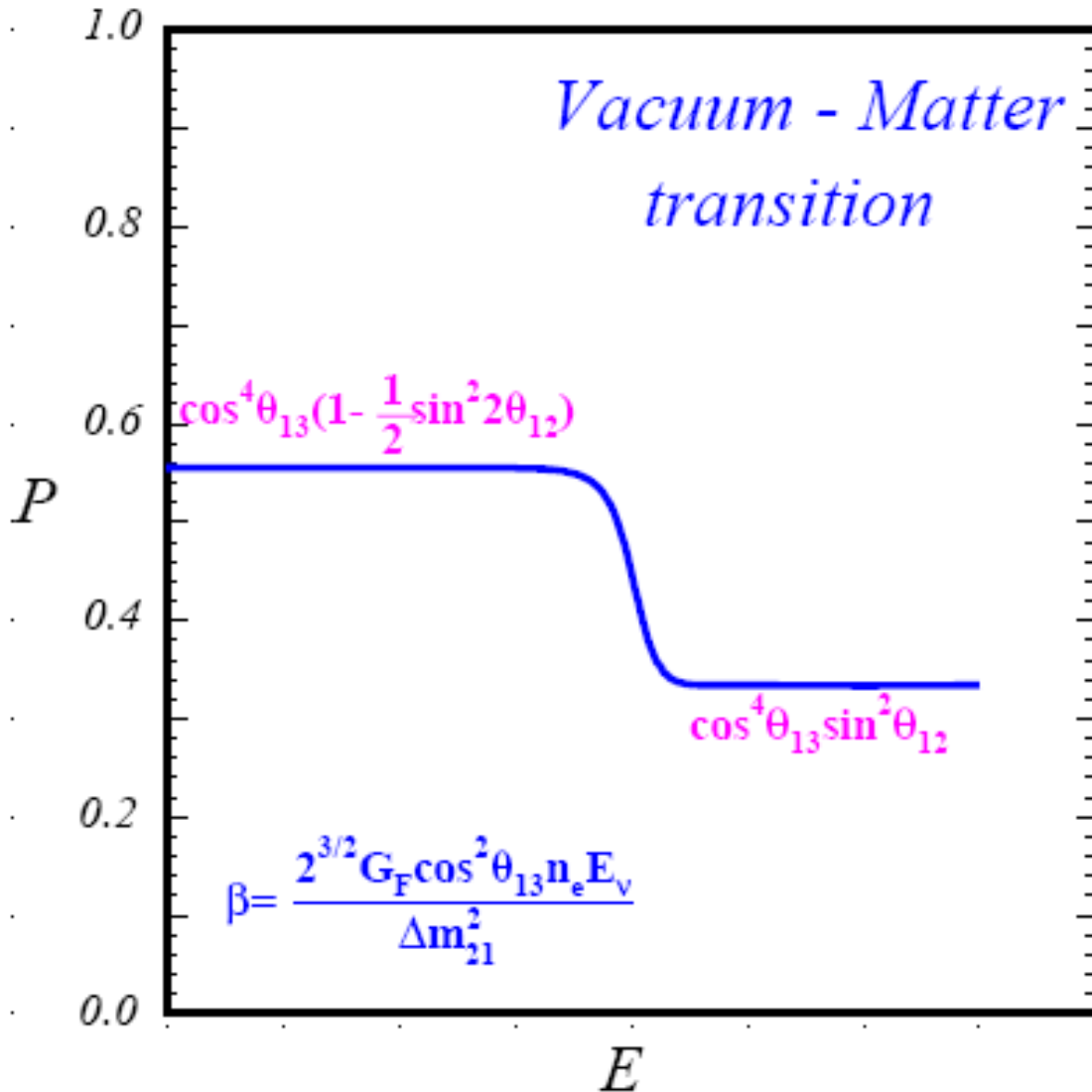
By substituting in the expressions for  $\chi_1$ ,  $\chi_2$ ,  $M_1$ ,  $M_2$ , we have

$$(\chi_2 - \chi_1)^2 = (M_2 - M_1)^2 \left[ \sin^2 2\theta + \left( \frac{\eta}{M_2 - M_1} - \cos 2\theta \right)^2 \right] \quad (21a)$$

$$(M_2 - M_1) = \frac{\Delta m^2}{2p} \approx \frac{\Delta m^2}{2E_\nu} \quad . \quad (21b)$$

Recalling that  $x = t$ , and  $\eta = \sqrt{2}G_F N_e$ , we arrive at the MSW probability for an electron neutrino to oscillate into a muon neutrino:

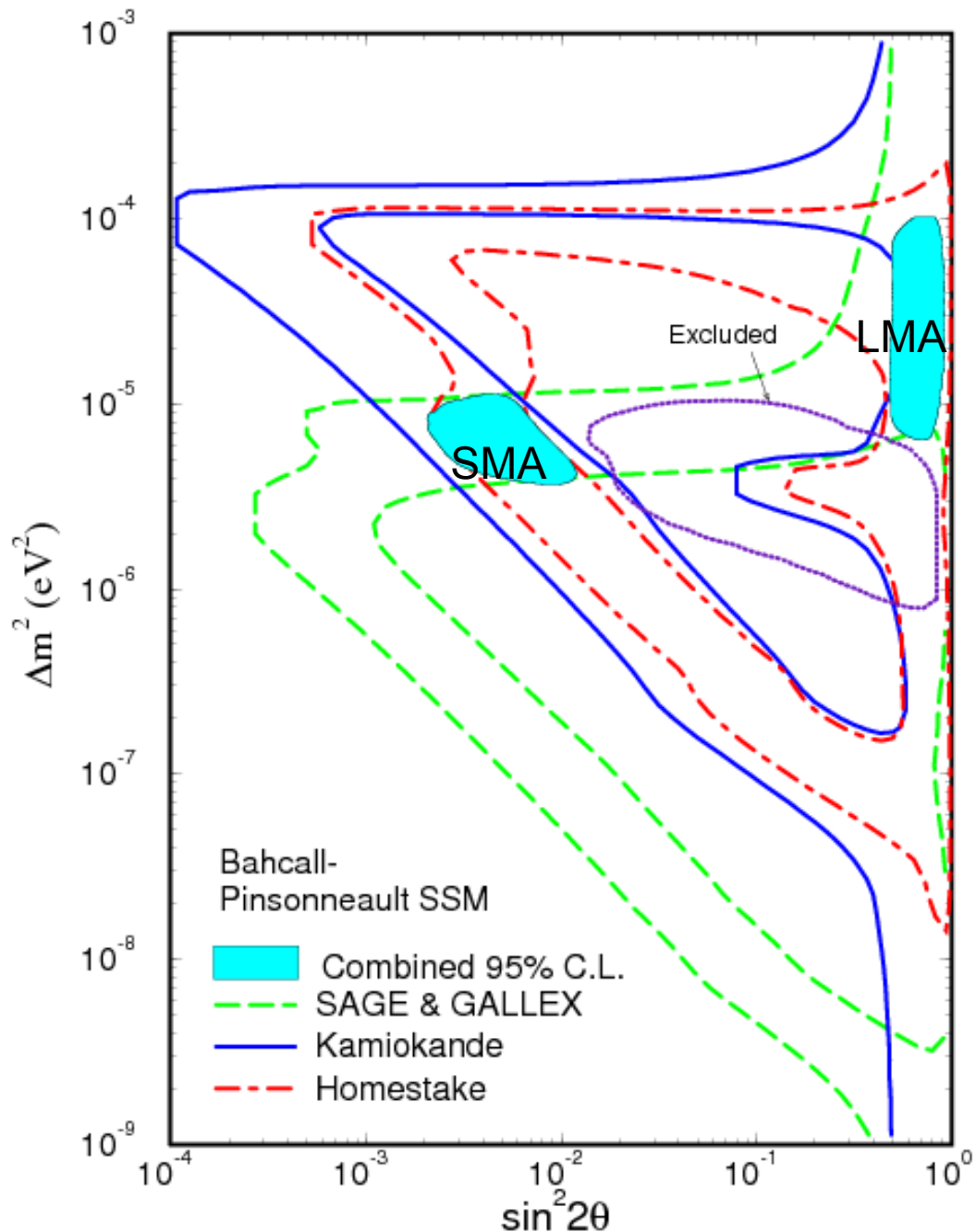
$$\begin{aligned} P_{\text{MSW}}(\nu_e \rightarrow \nu_\mu) &= \frac{\sin^2 2\theta}{W^2} \sin^2 \left( \frac{\pi x W}{\lambda} \right) , \quad \text{where } \lambda \text{ is the } in \text{ vacuo } \text{oscillation length,} \\ W^2 &= \sin^2 2\theta + \left( \sqrt{2}G_F N_e \frac{2E_\nu}{\Delta m^2} - \cos 2\theta \right)^2 , \end{aligned} \quad (23)$$



**Per i neutrini solari la transizione dovrebbe avvenire intorno a 2MeV**

1994

MSW



Oscillazioni nel vuoto  
 $\Delta m^2 < 10^{-10}$

# “Best fit” ai dati di SNO

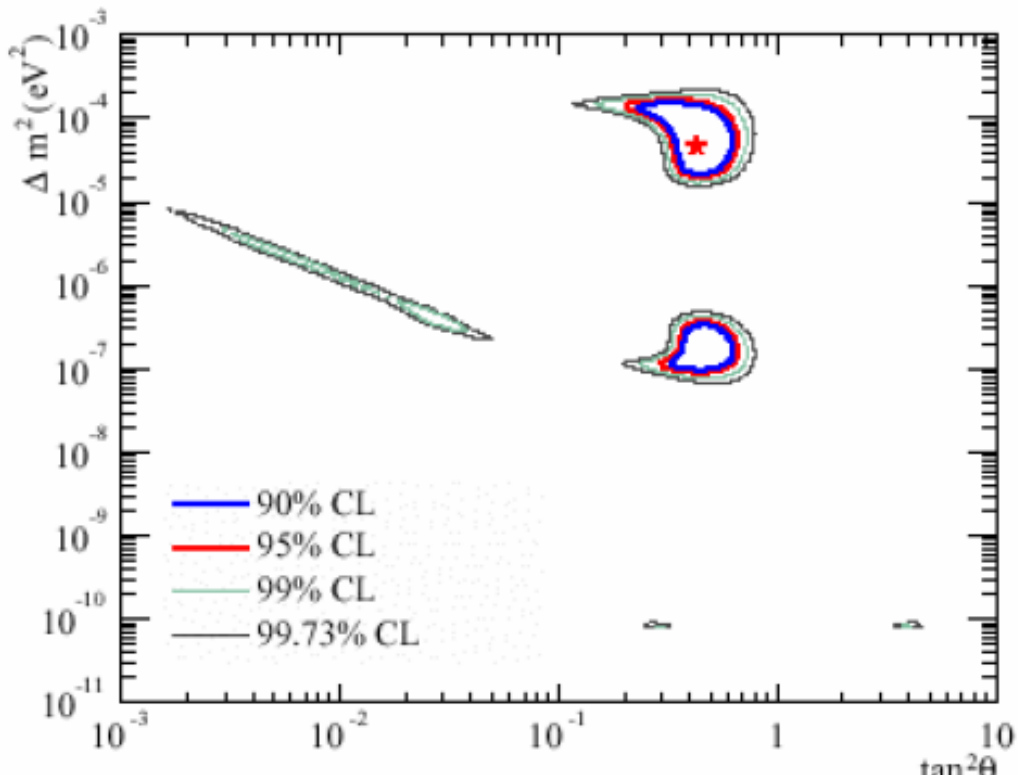
★ Best fit:

$$\Delta m^2 = 5.0 \times 10^{-5} \text{ eV}^2$$

$$\tan^2 \theta_{12} = 0.45$$

$$\chi^2 / N_{dof} = 68.9 / 69$$

Livelli di confidenza per “fits” con 2 parametri liberi	
CL	$\Delta\chi^2 = \chi^2 - \chi^2_{\min}$
68.27%	2.30
90%	4.61
95%	5.99
99%	9.21
99.73%	11.83



NOTA:  $\tan^2 \theta$  preferita a  $\sin^2 2\theta$  perchè  $\sin^2 2\theta$  è simmetrico rispetto a  $\theta = 45^\circ$

$$\sin 2(45^\circ - \theta) = \sin(90^\circ - 2\theta) = \sin(90^\circ + 2\theta) = \sin 2(45^\circ + \theta)$$

e le soluzioni MSW esistono solo se  $\theta < 45^\circ$

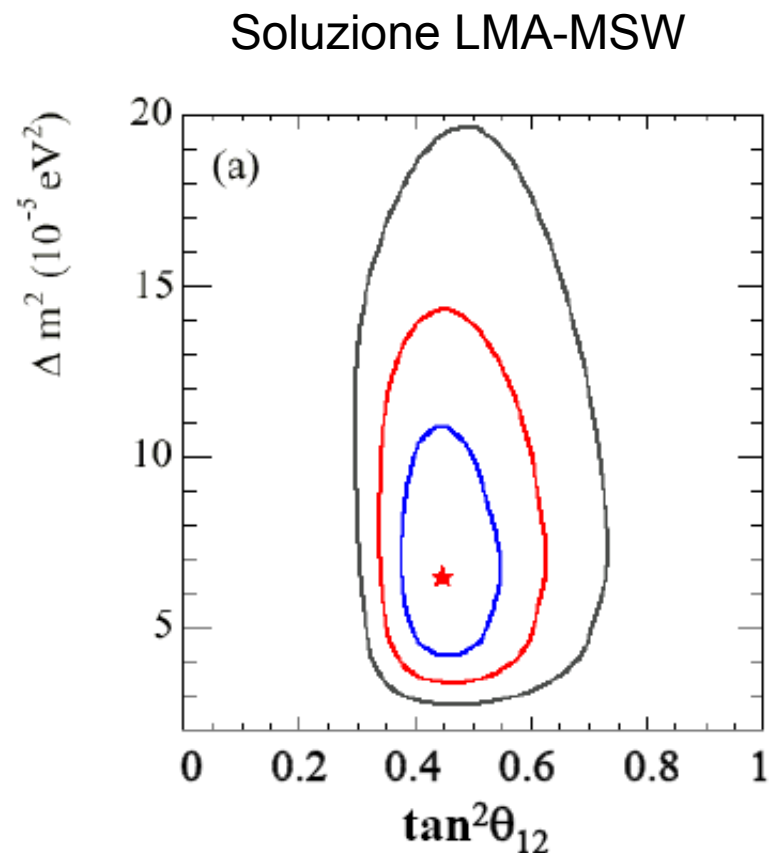
# “Best fit” globale ai risultati di tutti gli esperimenti sui neutrini solari

★ Best fit:

$$\Delta m^2 = ( 6.5^{+4.4}_{-2.3} ) \times 10^{-5} \text{ eV}^2$$

$$\tan^2 \theta_{12} = 0.45^{+0.09}_{-0.08}$$

$$\chi^2 / N_{dof} = 113.1 / 116$$



# 2003: KamLAND

- Prima (?) evidenza di oscillazioni con neutrini da sorgenti artificiali

Reattori nucleari: sorgenti intense, isotrope di  $\bar{\nu}_e$  da decadimento  $\beta^-$  dei frammenti di fissione.

Spettro in energia ( $E \leq 10$  MeV,  $\langle E \rangle \approx 3$  MeV) determinato sperimentalmente.

Frequenza di produzione  $\bar{\nu}_e$  :  $1.9 \times 10^{20} P_{th} \text{ s}^{-1}$   $\left( \begin{array}{l} P_{th}: \text{potenza termica} \\ \text{del reattore in GW} \end{array} \right)$

Rivelazione:

$\bar{\nu}_e + p \rightarrow e^+ + n$  (sui protoni liberi di scintillatore liquido contenente idrogeno)



$e^+ e^- \rightarrow 2\gamma$   
segnale iniziale  
 $E = E_\nu - 0.77 \text{ MeV}$

“termalizzazione” da collisioni multiple ( $\langle t \rangle \approx 180 \mu\text{s}$ ), seguita da cattura  
 $n + p \rightarrow d + \gamma$  ( $E_\gamma = 2.2 \text{ MeV}$ )  
segnale ritardato

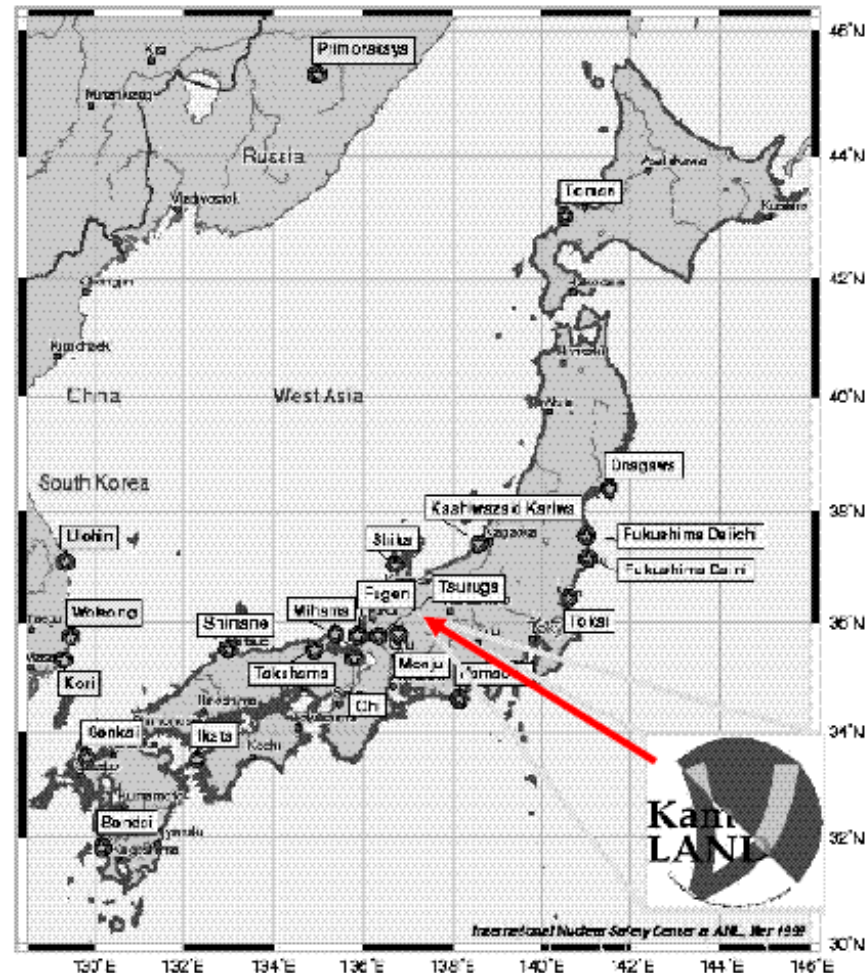
## KamLAND (KAMioka Liquid scintillator Anti-Neutrino Detector)

Sorgente  $\bar{\nu}_e$ : reattori nucleari in Giappone

Potenza termica totale 70 GW  
 $>79\%$  del flusso  $\bar{\nu}_e$  prodotto da  
26 reattori,  $138 < L < 214$  km  
Media pesata delle distanze:  
 $\langle L \rangle$ : 180 km (peso = flusso  $\bar{\nu}_e$ )

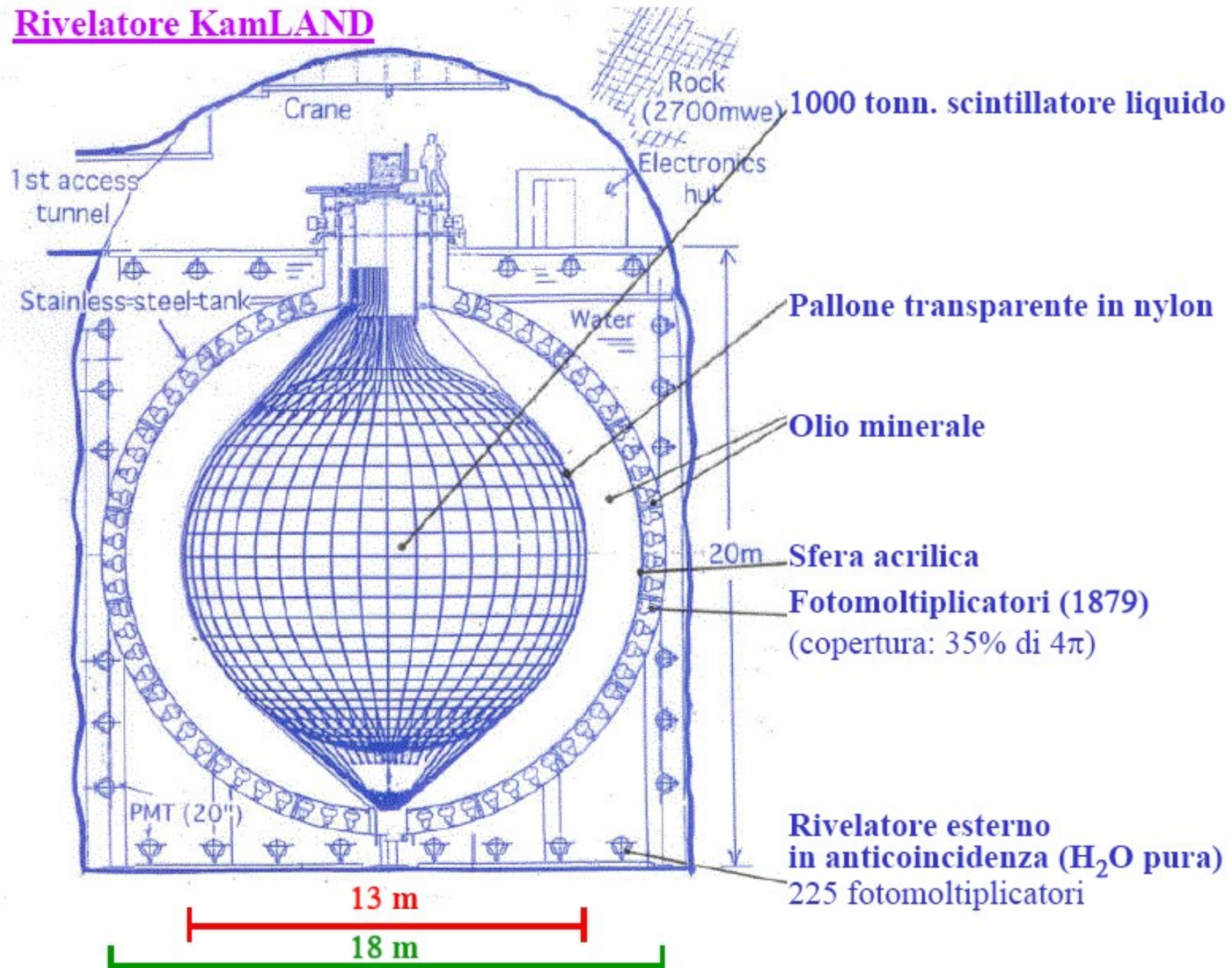
Flusso  $\bar{\nu}_e$  predetto  $\approx 1.3 \times 10^6 \text{ cm}^{-2} \text{ s}^{-1}$   
(tutti i reattori a potenza massima,  
assenza di oscillazioni)

Lunghezza d'oscillazione media  
per  $\Delta m^2 = 6.5 \times 10^{-5} \text{ eV}^2$  :  
 $\langle \lambda_{\text{osc}} \rangle \approx 120 \text{ km}$



probabilità di scomparsa uguali per  $\nu_e$  e  $\bar{\nu}_e$  ?

## Rivelatore KamLAND

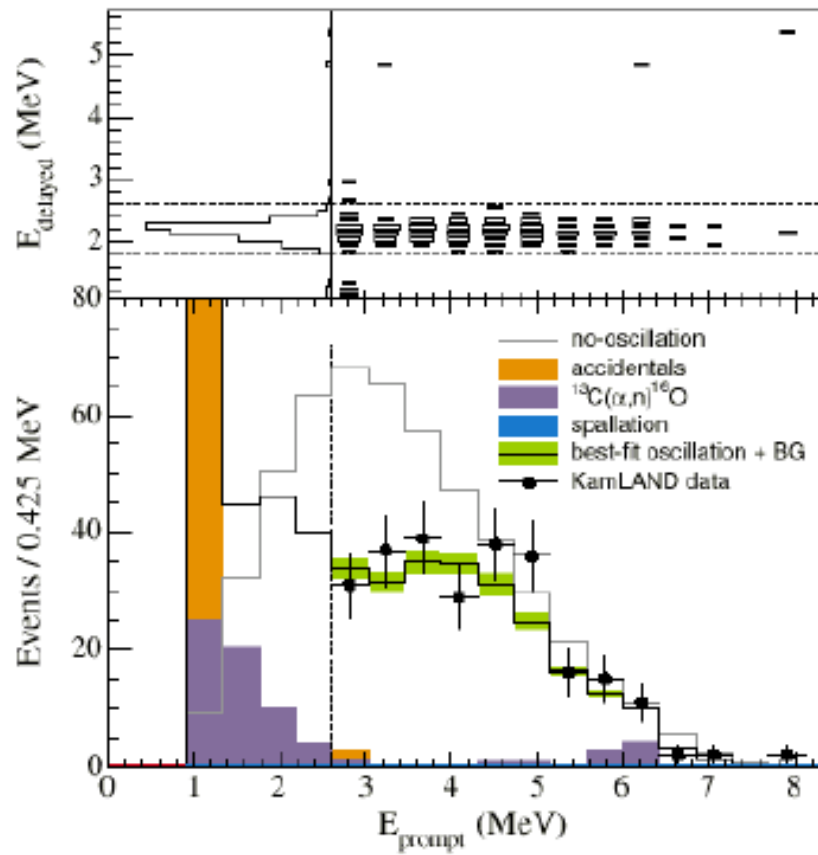


# KamLAND: analisi dati Marzo 2002 – Gennaio 2004

## Selezione eventi:

Segnale iniziale:  $2.6 < E < 8.5$  MeV, distanza dal centro < 5.5 m

Segnale ritardato:  $0.5 < \Delta t < 660$   $\mu$ s,  $\Delta R < 1.6$  m rispetto al segnale iniziale

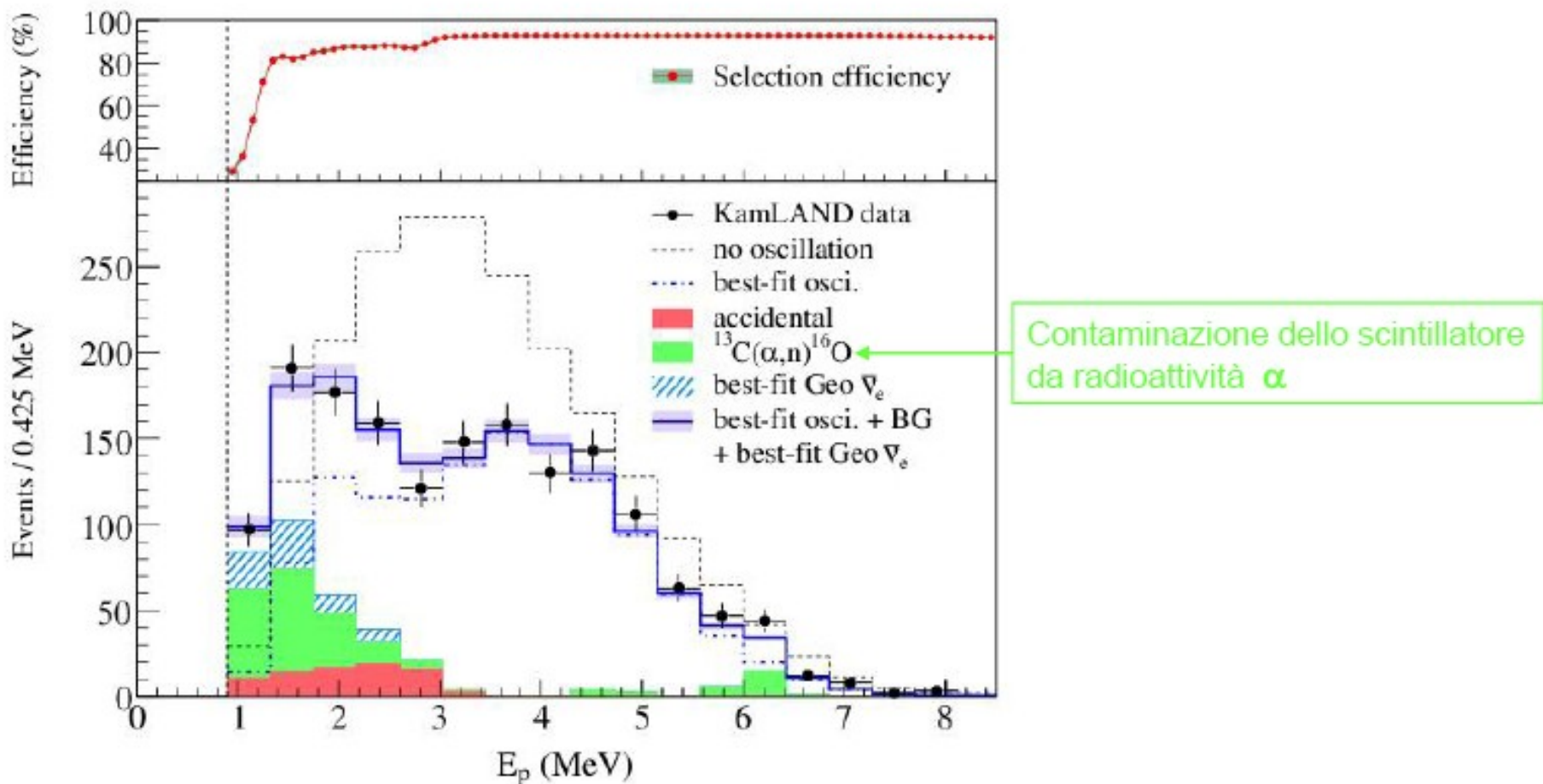


**258 eventi compatibili con  $\bar{\nu}_e + p \rightarrow e^+ + n$  (segnale iniziale)**  
+ segnale ritardato  $n + p \rightarrow d + \gamma$  ( $E_\gamma = 2.2$  MeV)

Fondo  $17.8 \pm 7.3$  eventi

Numero eventi aspettati in assenza di oscillazioni:  $365.2 \pm 23.7$

# KamLAND: risultati recenti (febbraio 2008)



Numero di eventi aspettati in assenza di oscillazioni:  $2179 \pm 89$  (sist.)

Eventi di fondo:  $276.1 \pm 23.5$

Numero di eventi osservati : 1609

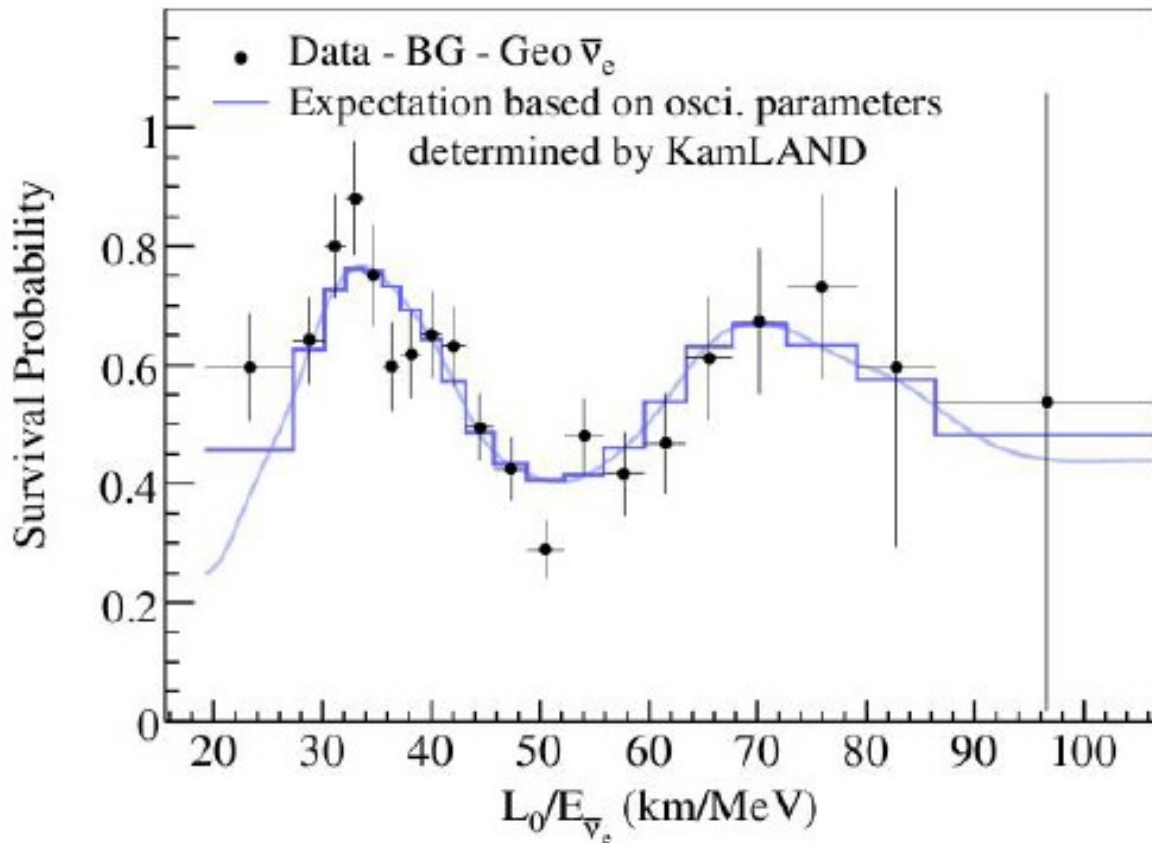
## KamLAND: probabilità di scomparsa di $\bar{\nu}_e$

$$\mathcal{P}_{ee} = 1 - \sin^2(2\theta) \sin^2(1.267 \Delta m^2 \frac{L_0}{E})$$

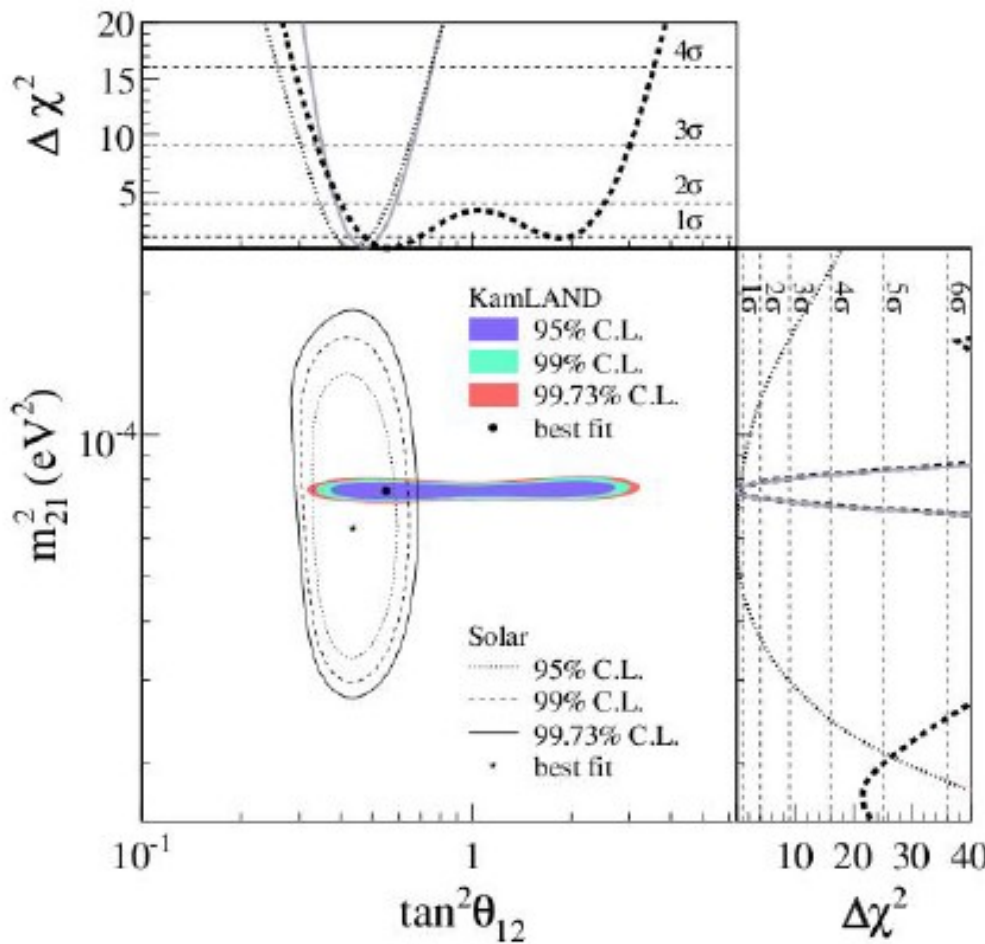
$$\Delta m^2 = (7.58_{-0.13}^{+0.14} \pm 0.15) \times 10^{-3} \text{ eV}^2$$

Best fit

$$\tan^2 \theta = 0.56_{-0.07}^{+0.10} (\text{stat})_{-0.06}^{+0.10} (\text{sist})$$

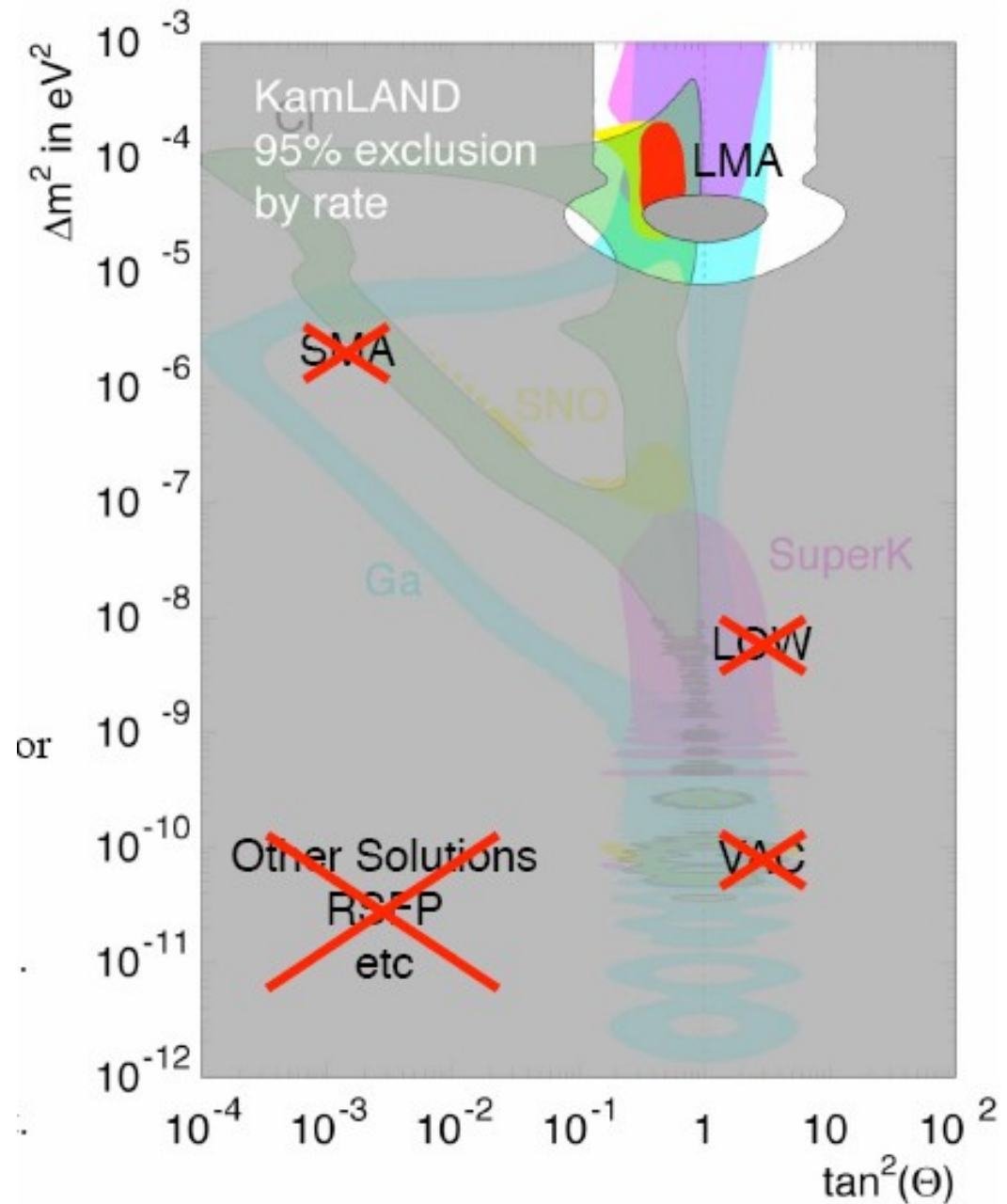


## Best fit a tutti i dati sui neutrini solari + KamLAND



**Best fit combinato:**  $\Delta m^2 = (7.59 \pm 0.21) \times 10^{-5} \text{ eV}^2$

$$\tan^2\theta = 0.47^{+0.06}_{-0.05} \Rightarrow \theta = 34.4^\circ {}^{+1.6^\circ}_{-1.5^\circ}$$



# Borexino

- Proposto nel 1991 @ LNGS
- Primi risultati pubblicati nel 2008

# How do we detect $\nu$ /anti- $\nu$ in BX ??



Borexino is an ultrapure organic scintillator detector made by 278 tons of PC+PPO

$\nu_x$  are detected through their scattering off electrons:



anti- $\nu_e$  are detected through the inverse beta decay on protons:



- ✓  $E_{thr} = 1.8 \text{ MeV}$
- ✓  $E_{e^+} = E_\nu - 0.78 \text{ MeV}$
- ✓ Delayed coincidence :  $\tau_n \sim 256 \mu\text{s}$  in PC

## Particle detection via the emitted scintillation light:

- ✓ Very low energy threshold (40 keV);
- ✓ Good energy and spatial resolution (L.Y.  $\sim 500$  p.e./MeV) ..but...
- ✓ No directional information
- ✓ Background rejection critical: the  $\nu_x$  induced events can't be distinguished from the other  $\beta$  events due to natural radioactivity

A ultrapure detector is mandatory....

# The BOREXINO detector

- PMT total collected charge  $\rightarrow$  light yield (p.e)  $\rightarrow$  event energy
- Photon arrival times on each PMT  $\rightarrow$  event position

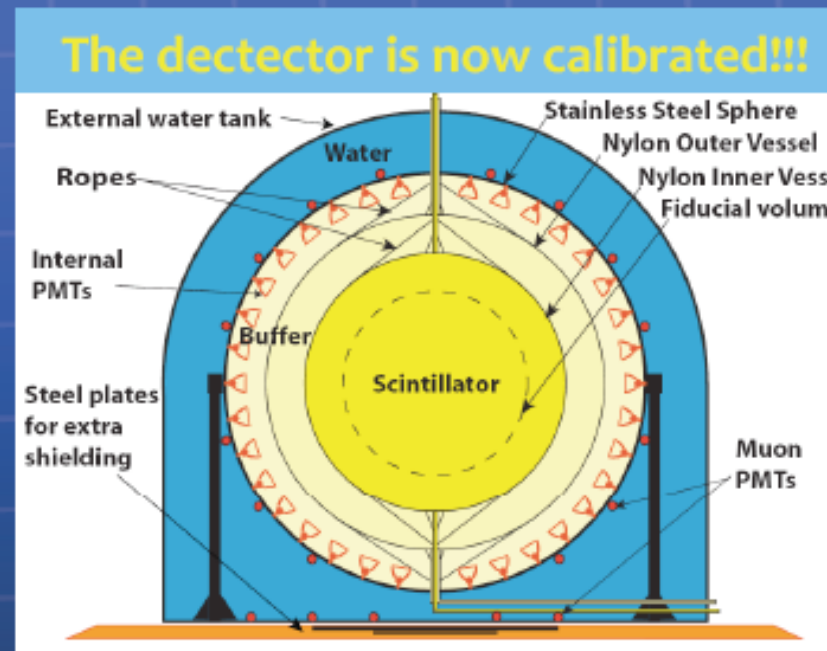
## ENERGY RESOLUTION

10% @ 200 keV  
8% @ 400 keV  
5% @ 1 MeV

## SPATIAL RESOLUTION

35 cm @ 200 keV  
16 cm @ 500 keV

**Extreme radiopurity of scintillator =  
15 years of work !!!**

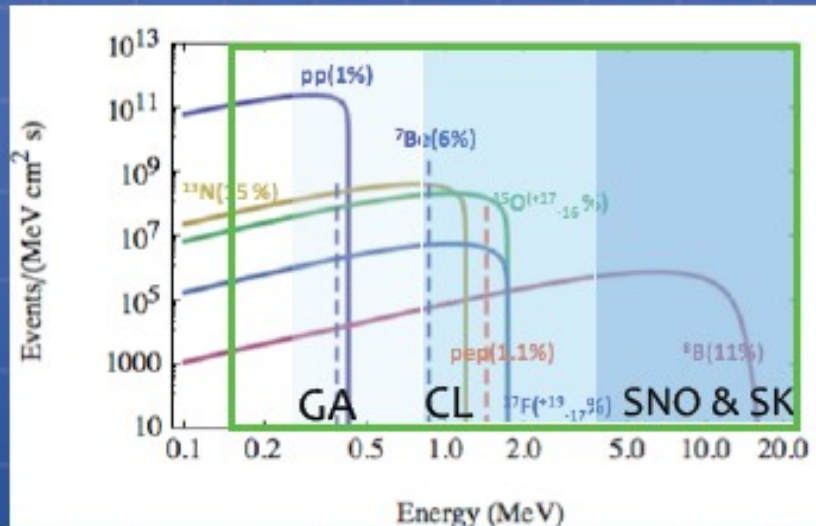


- **External backgrounds:** underground lab., principle of progressive shieldings
- **Internal backgrounds:** accurate material selections and clean manipulations, liquid handling plants *in situ* (WE, nitrogen stripping, distillation)

## Most important backgrounds:

$^{238}\text{U} \sim 2 \cdot 10^{-17} \text{ g/g}$ ,  $^{232}\text{Th} \sim 5 \cdot 10^{-18} \text{ g/g}$ ,  $^{210}\text{Po} \sim 10 \text{ c/d/t}$ ,  $^{210}\text{Bi} \sim 15 \text{ c/d/100t}$ ,  $^{85}\text{Kr} \sim 30 \text{ c/d/100t}$

# Neutrino astrophysics: probing our knowledge of the Sun



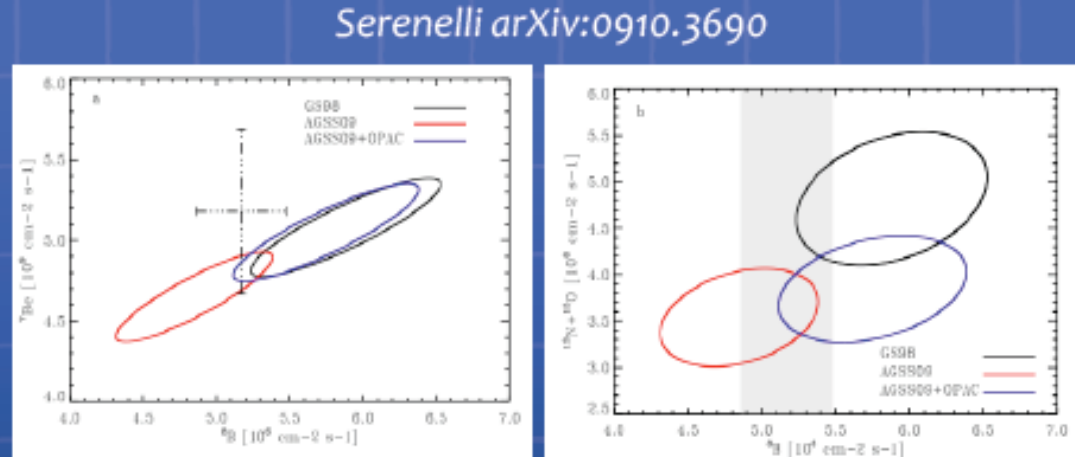
Importance of single solar- $\nu$  spectrum component precise flux measurements:

- ✓ Solve the high/Low metallicity solar model controversy
- ✓ Confirm MSW-LMA or exploit possible traces of non-standard neutrino-matter interaction / presence of mass varying  $\nu$ 's
- ✓ Fix the amount of solar energy produced via CNO cycle

# Neutrino astrophysics: probing our knowledge of the Sun



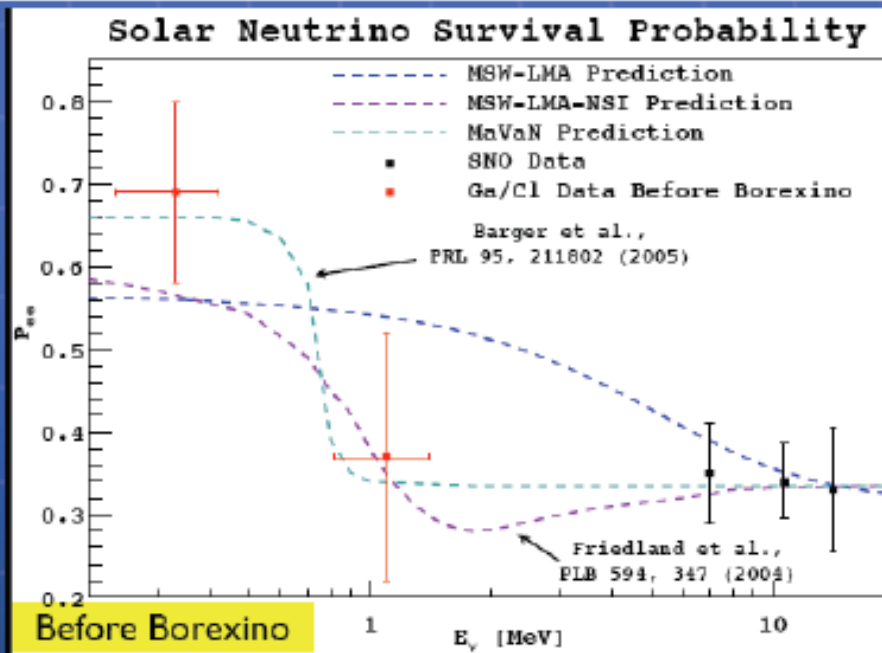
	GS98	AGS05
pp	$5.97 \times 10^{10}$	$6.04 \times 10^{10}$
pep	$1.41 \times 10^8$	$1.44 \times 10^8$
hep	$7.91 \times 10^3$	$8.24 \times 10^3$
10%	${}^7\text{Be}$	$5.08 \times 10^9$
	${}^8\text{B}$	$5.88 \times 10^6$
40%	${}^{13}\text{N}$	$2.82 \times 10^8$
	${}^{15}\text{O}$	$2.09 \times 10^8$
	${}^{17}\text{F}$	$5.65 \times 10^6$
		$3.14 \times 10^6$



Flux:  $\text{cm}^{-2}\text{s}^{-1}$  (BPS09)

- ✓ Solve the high/Low metallicity solar model controversy
- ✓ Confirm MSW-LMA or exploit possible traces of non-standard neutrino-matter interaction / presence of mass varying ν's
- ✓ Fix the amount of solar energy produced via CNO cycle

# Neutrino astrophysics: probing our knowledge of the Sun

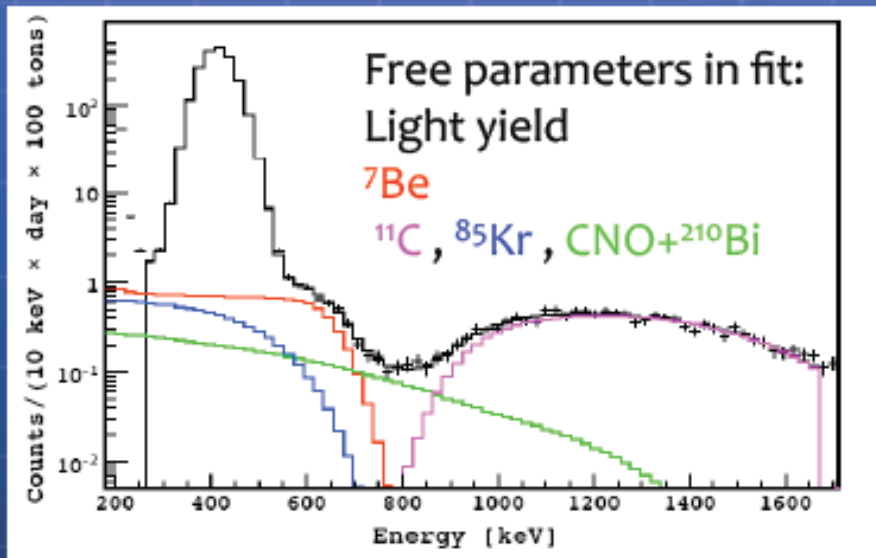


- ✓ Solve the high/Low metallicity solar model controversy
- ✓ Confirm MSW-LMA or exploit possible traces of non-standard neutrino-matter interaction / presence of mass varying ν's
- ✓ Fix the amount of solar energy produced via CNO cycle

# Neutrino astrophysics: the measure of the ${}^7\text{Be}$ solar neutrino flux

1<sup>st</sup> result (30 % precision) - Phys.Lett.B (2007):  ${}^7\text{Be}$  Rate =  $47 \pm 7_{\text{stat}} \pm 12_{\text{syst}}$  cpd/100t ( 47.4 days)

2<sup>nd</sup> result (10% precision)- PRL 101 (2008):  **${}^7\text{Be}$  Rate =  $49 \pm 3_{\text{stat}} \pm 4_{\text{syst}}$  cpd/100 tons (192 days)**



Expected rate cpy/100 t		
No oscillations	BPS07 (GS98)	BPS07 (AGS05)
$75 \pm 4$	$48 \pm 4$	$44 \pm 4$

3<sup>rd</sup> result: now a 5% precision measurement and the seasonal variation study are possible!!!

- Detector calibrated
- Monte Carlo fitting procedure implemented
- ${}^{85}\text{Kr}$  content known at 16% level (delayed coincidence)
- 3 years of statistics!!!

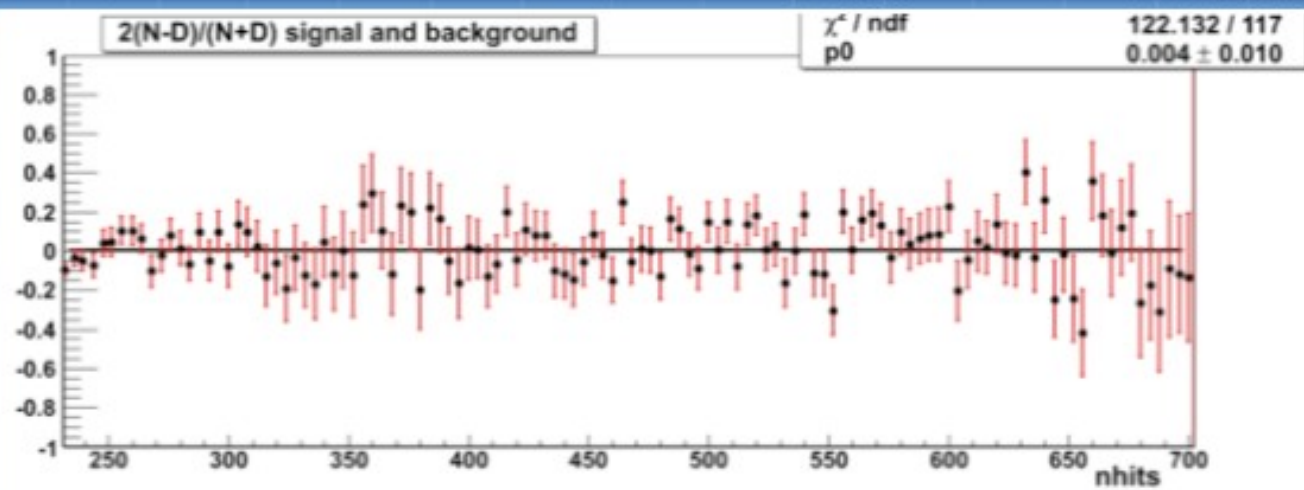
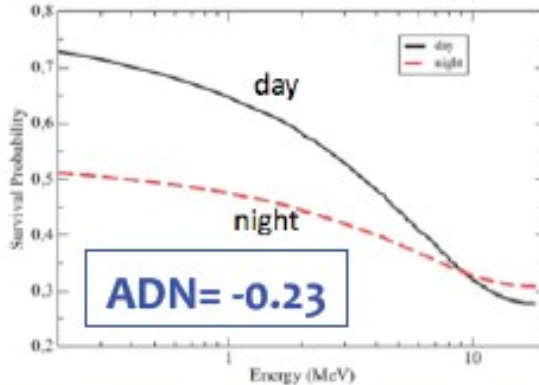
# Neutrino astrophysics: $^{7\text{Be}}$ solar neutrino flux day/night asymmetry

- LMA solution to SNP  $\rightarrow$  no asymmetry
- MaVaN models  $\rightarrow$  possible asymmetry

$$\text{ADN} = \frac{N - D}{(N + D) / 2}$$

Borexino result:  $\text{ADN} = 0.007 \pm 0.073 \text{ (stat)}$

Mass Varving Neutrino Models  
P.C. de Holanda JCAP07 (2009) 024



Day spectrum 387.5 d  
Night spectrum 401.57 d  
Stat. Error: 2.3 cpd/100t

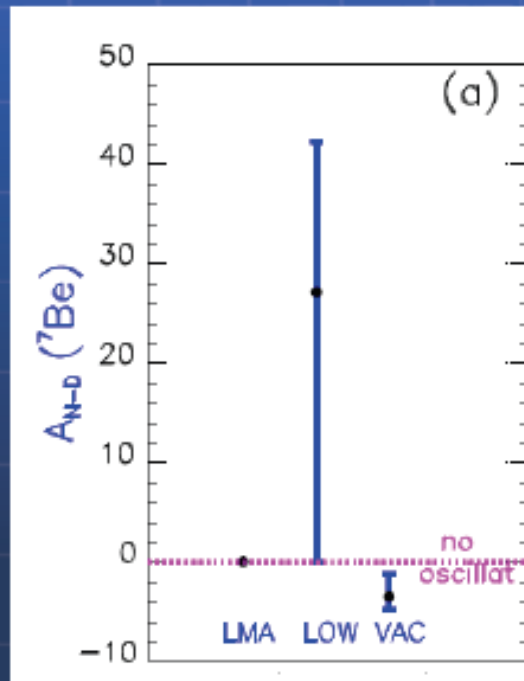
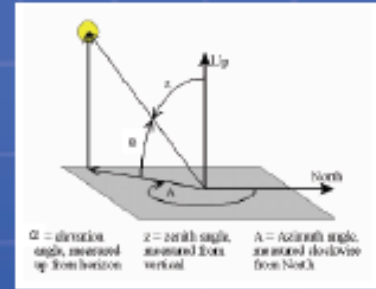
MaVaN model rejected at  
more than  $3\sigma$

# The D/N asymmetry in the ${}^7\text{Be}$ flux

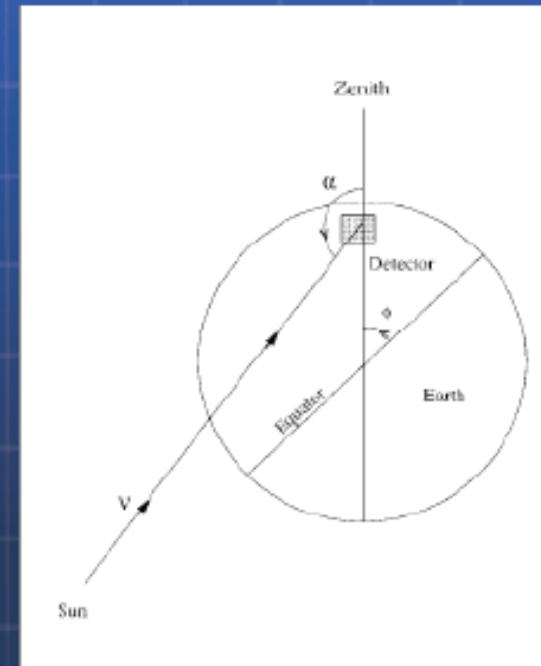


- MSW mechanism:  $\nu$  interaction in the Earth could lead to a  $\nu_e$  regeneration effect
- Solar  $\nu$  flux higher in the night than in the day
- The amount of the effect depends
  - detector latitude
  - energy of the neutrinos

$$\theta \Delta m^2$$

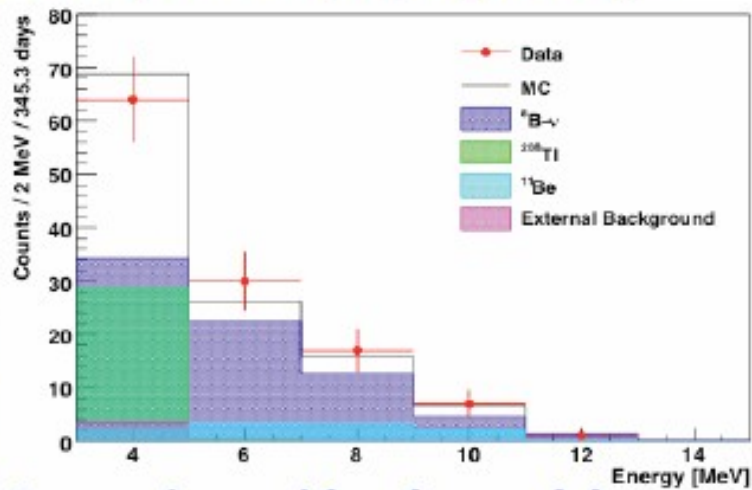


The absence of a day-night effect for the  ${}^7\text{Be}$  is a further confirmation of the LMA solution of the solar neutrino problem

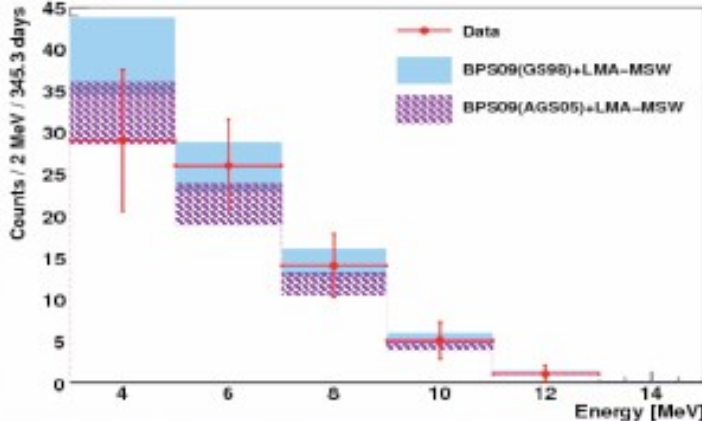


# Neutrino astrophysics: the ${}^8\text{B}-\nu$ final spectrum compared with models and other results

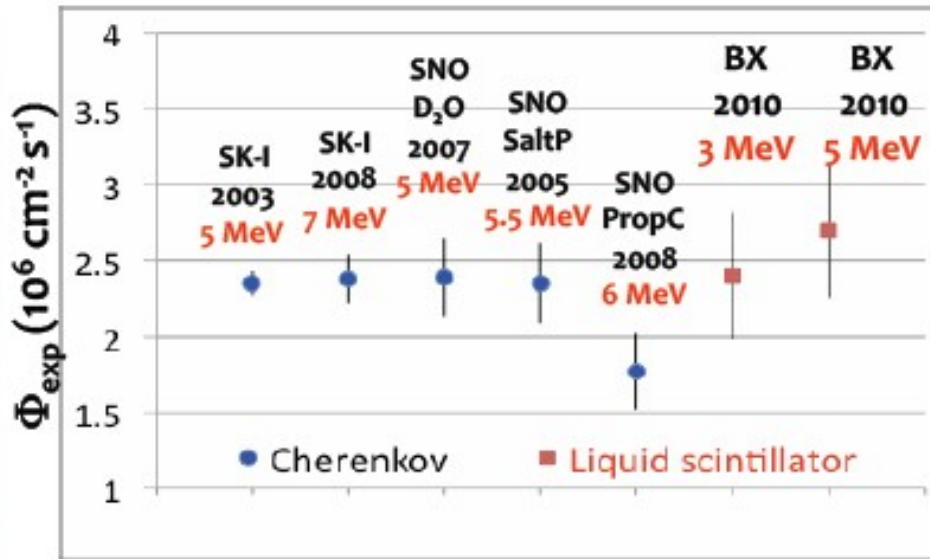
Final spectrum (exp.: 97 tons y)



Comparison with solar models



${}^8\text{B}$  solar  $\nu$  flux measurements via elastic scattering



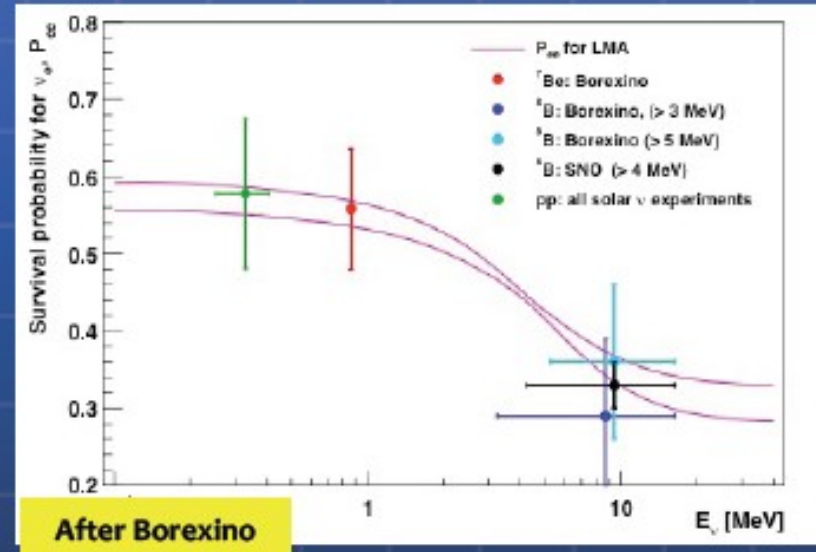
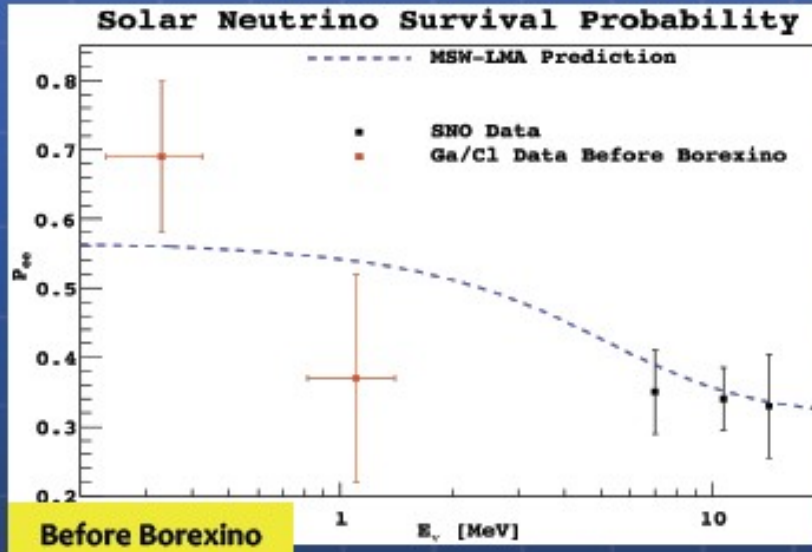
Threshold is defined @ 100% trigger efficiency

Borexino	3.0–16.3 MeV	5.0–16.3 MeV
Rate [cpd/100 t]	$0.22 \pm 0.04 \pm 0.01$	$0.13 \pm 0.02 \pm 0.01$
$\Phi_{exp}$ [ $10^6 \text{ cm}^{-2} \text{s}^{-1}$ ]	$2.4 \pm 0.4 \pm 0.1$	$2.7 \pm 0.4 \pm 0.2$
$\Phi_{exp}/\Phi_{th}$	$0.88 \pm 0.19$	$1.08 \pm 0.23$

# Neutrino astrophysics: testing the LMA solution to the solar neutrino problem

- ✓ Borexino is the first experiment able to investigate simultaneously, in real time, the vacuum and matter regimes of oscillation

Solar  $\nu_e$  survival probability in vacuum-matter transition



$${}^7\text{Be} \nu: P_{ee} = (0.56 \pm 0.10)$$

$${}^8\text{B} \nu: \bar{P}_{ee} = (0.29 \pm 0.10)$$

Distance =  $1.9 \sigma$

- ✓ CNO, pep and pp  $\nu$ -flux measurement: possible in case of positive result of running purifications